



# Phénomènes de relaxation dans les verres

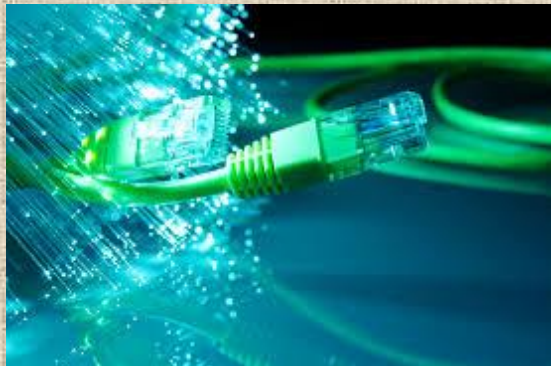
*Yann Vaills*

*Orléans University*

***Conditions Extrêmes des Matériaux : Haute  
Température et Irradiation***

***CEMHTI UPR 3079 CNRS***

# Ageing of glasses...?



Ageing of glasses

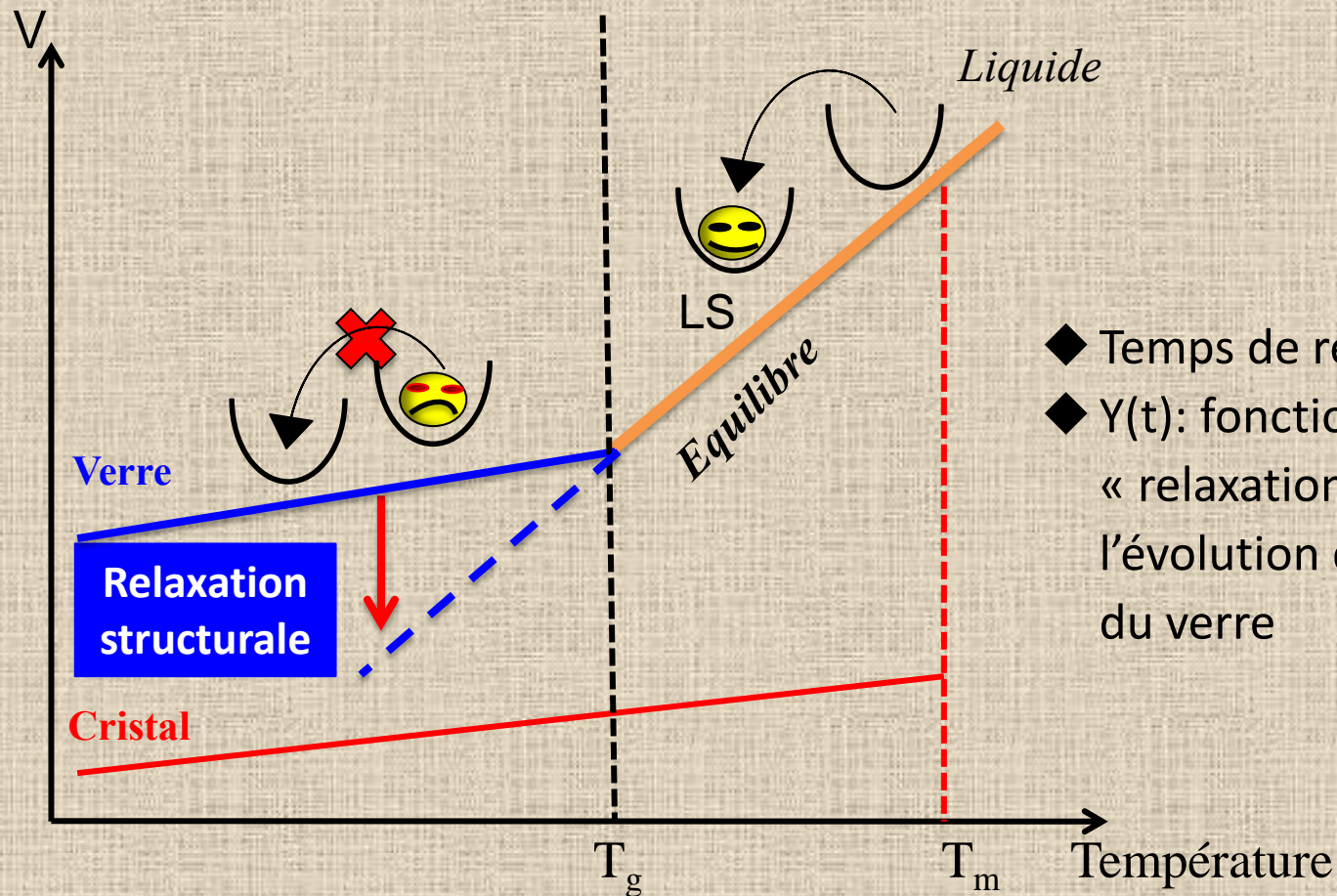
Chemical reasons

physical reasons

## Le verre obtenu par refroidissement d'un liquide surfondu



Système hors-équilibre -----  $T, P, t \dots$  -----> Equilibre



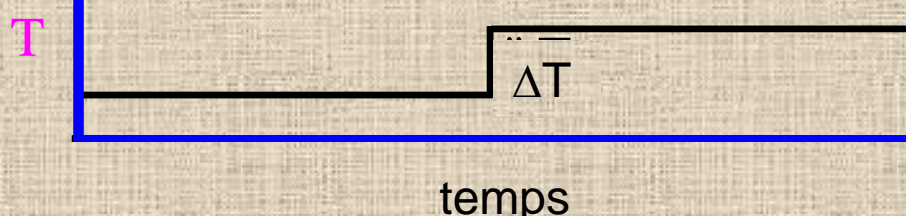
- ◆ Temps de relaxation  $\tau$
- ◆  $Y(t)$ : fonction dite de « relaxation » qui traduit l'évolution d'une propriété du verre

Outil de mesure  
temps expérience  $\tau_{\text{exp}}$



Fonction de  
relaxation  $y(t)$

sollicitation en température : expérience en temps



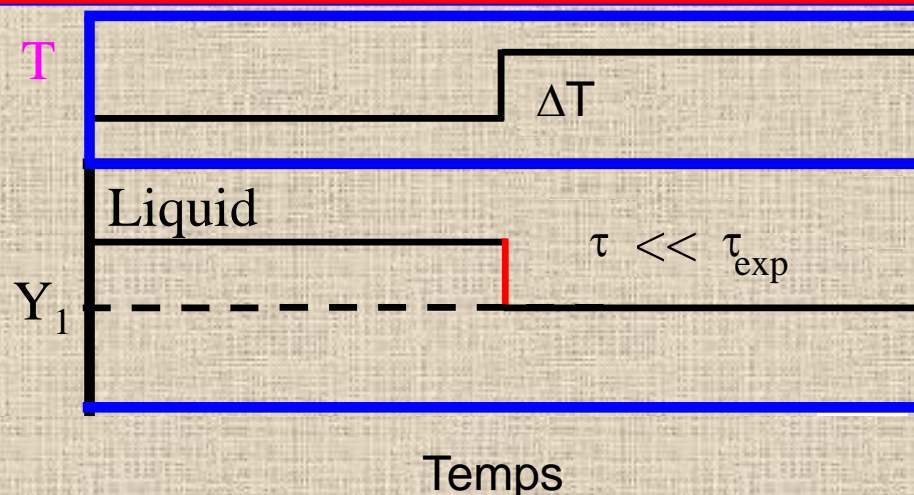
Outil de mesure  
temps expérience  $\tau_{\text{exp}}$

Fonction de  
relaxation  $y(t)$



sollicitation en température : expérience en temps

à l'état liquide



Outil de mesure  
temps expérience  $\tau_{\text{exp}}$

Fonction de  
relaxation  $y(t)$

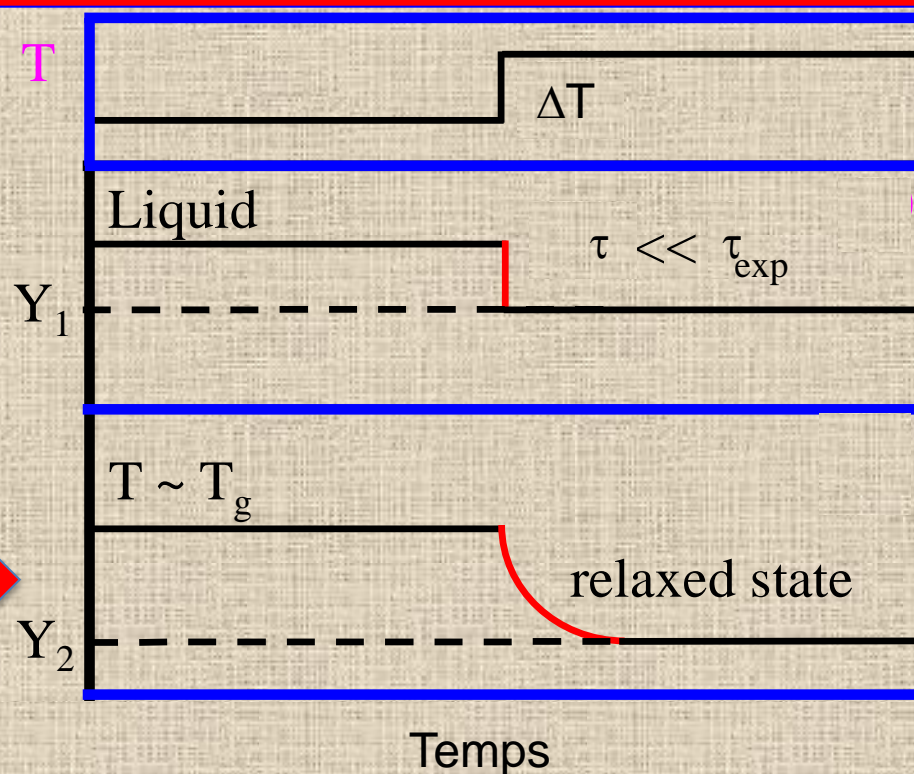


sollicitation en température : expérience en temps

à l'état liquide



dans l'intervalle  
de  $T_g$



Outil de mesure  
temps expérience  $\tau_{\text{exp}}$

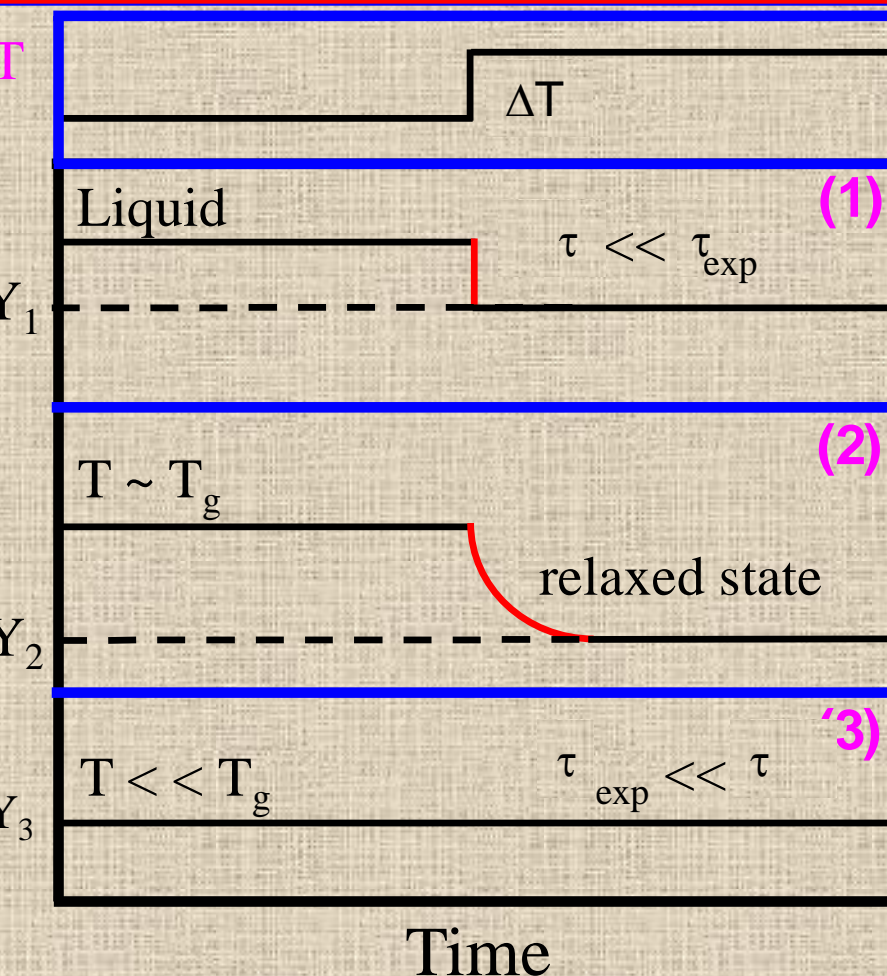
Fonction de  
relaxation  $y(t)$

à l'état liquide

sollicitation en température : expérience en temps

dans l'intervalle  
de  $T_g$

à la température  
ambiante



# Heterogeneous dynamics relaxation

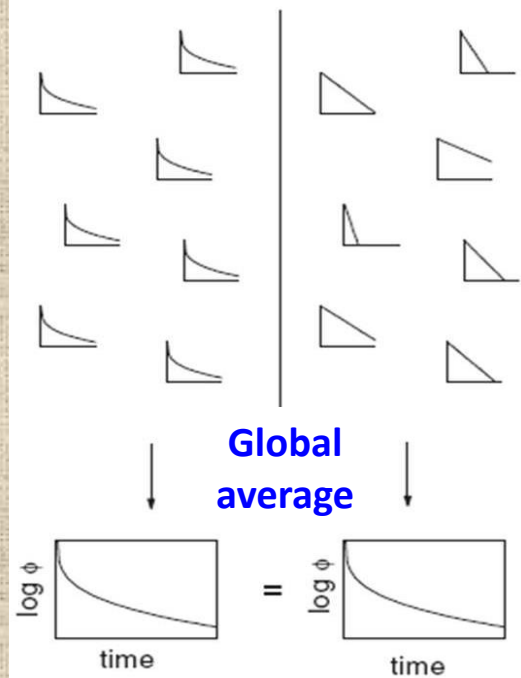
Polymers, molecular glasses...

$\Upsilon(t) \rightarrow$  several relaxation processes

$$y(t) = \sum_{i=1}^n y_{0i} \exp\left(\frac{-t}{\tau_i}\right)$$

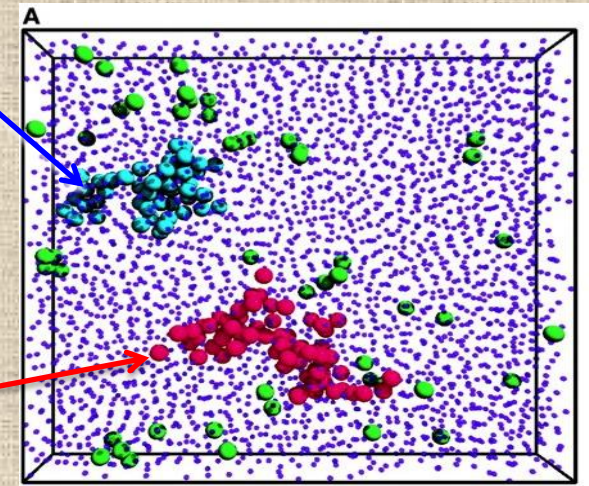
Homogeneous dynamics

Heterogeneous dynamics



$\tau_2$  fast

$\tau_1$  slow



E.R. Weeks, Science (2000)

$$y(t) = y_0 - w \exp\left(\frac{-t}{\tau}\right)^\beta$$

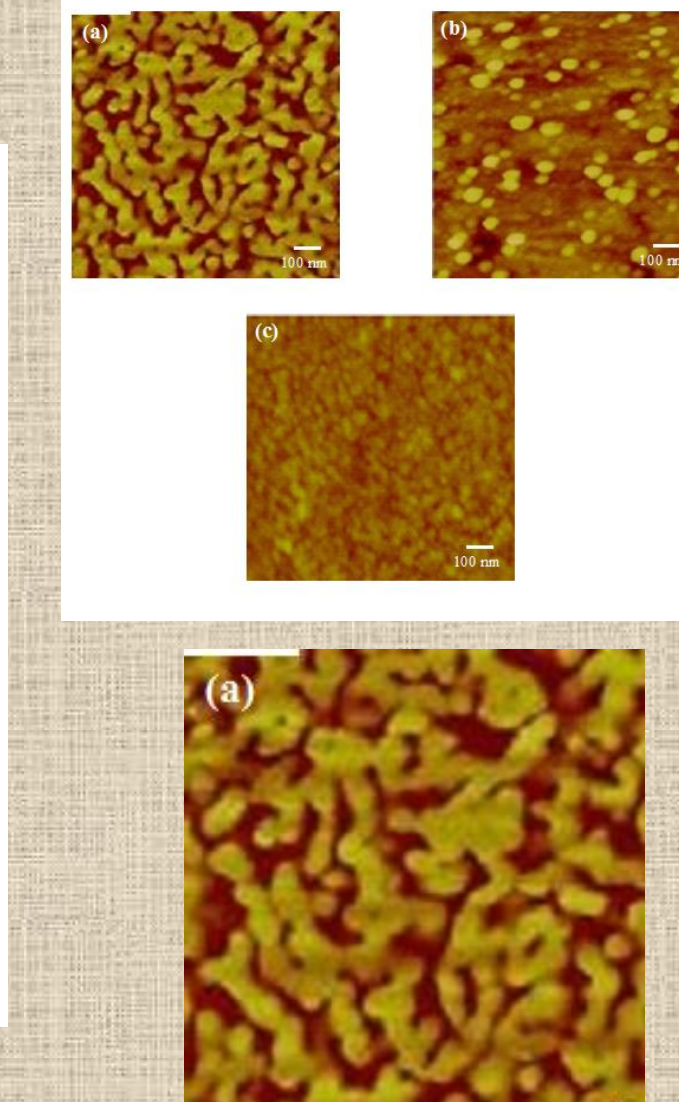
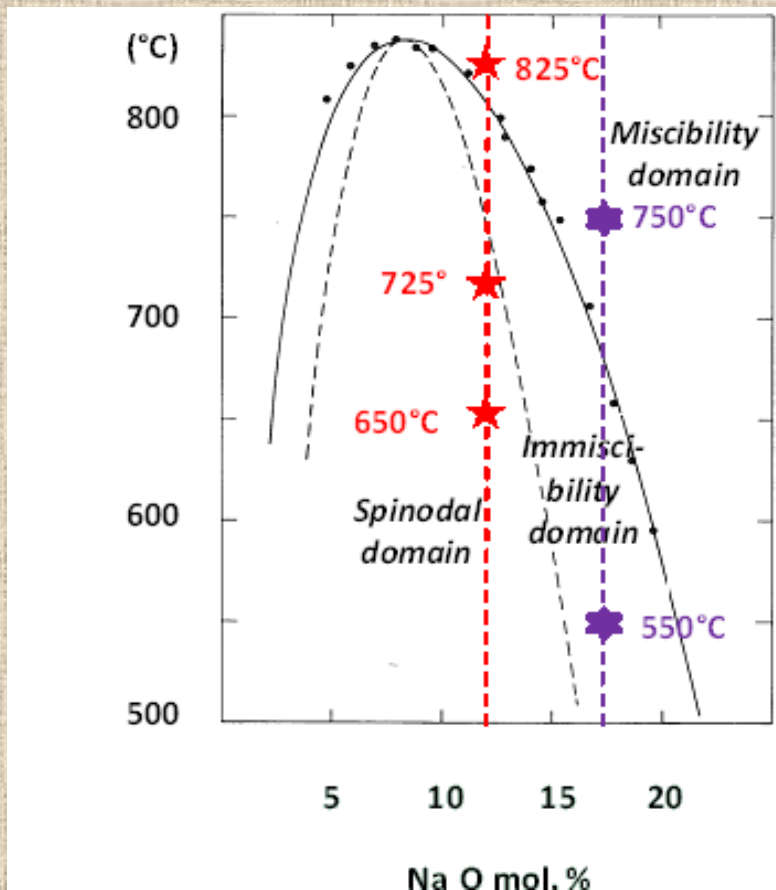
What about oxide glasses?

→ Oxide glasses : chemical and topological heterogeneity

→ Dynamics and nature of relaxation are depending on the spatial scale

# Composition choose

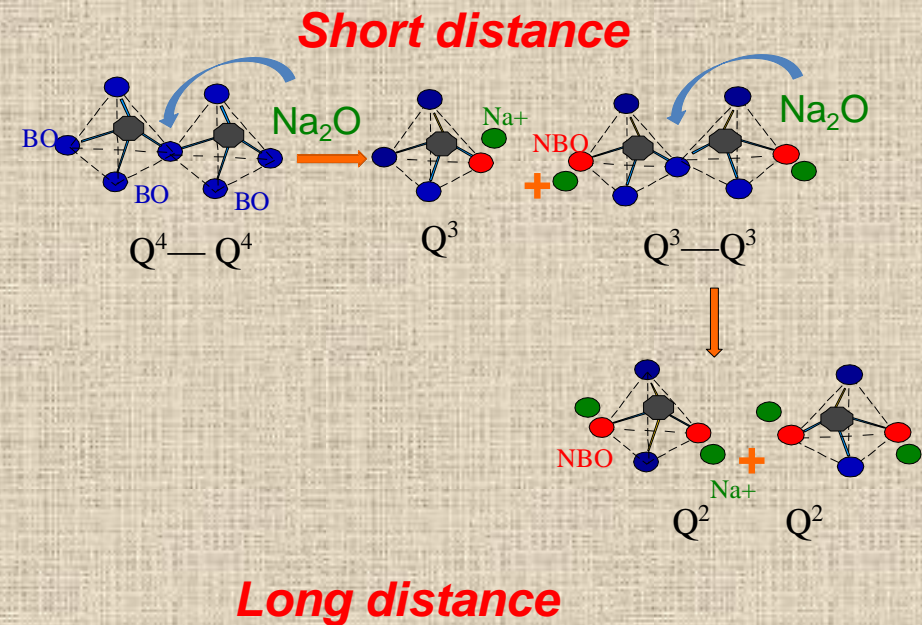
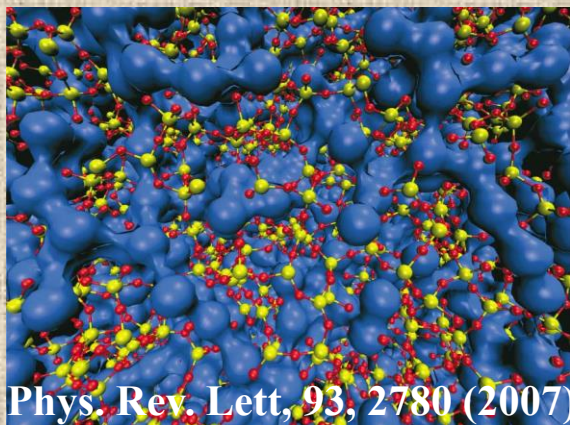
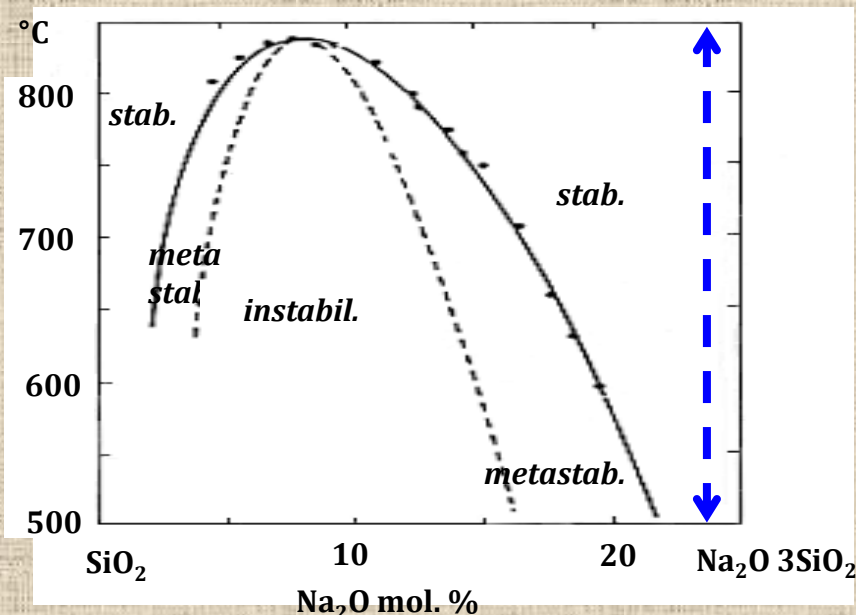
Composition  $x\text{Na}_2\text{O} - (1-x)\text{SiO}_2$



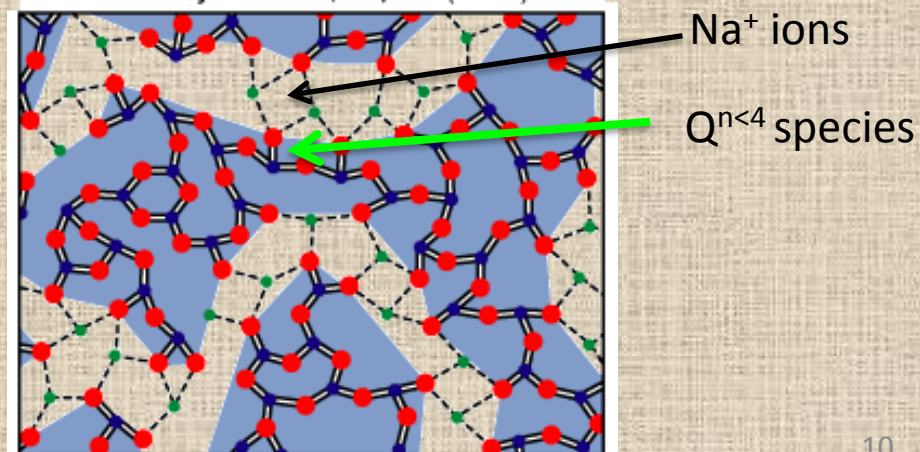
# Composition choose

**Composition 0.27 Na<sub>2</sub>O- 0.73 SiO<sub>2</sub>**

✓  $T_g(DSC) = 730K$

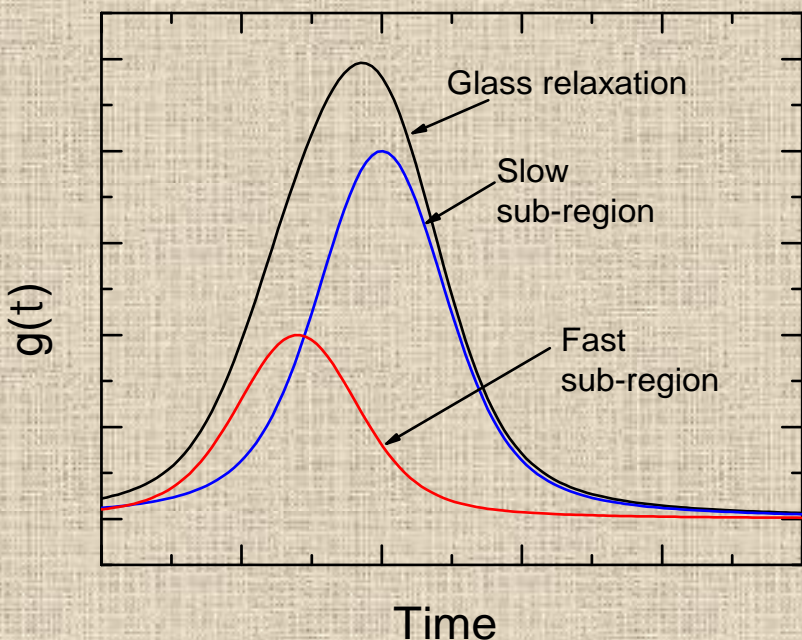


**Modified random model**  
Greaves, JNCS (1985)



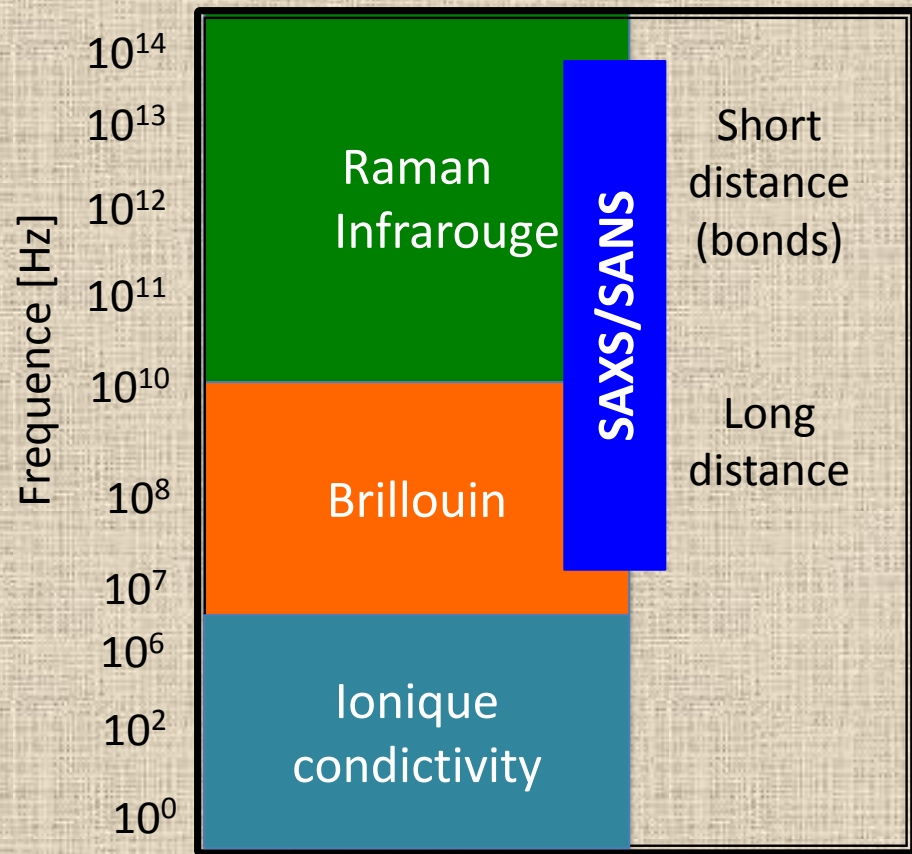
# Wich scale?

Idea



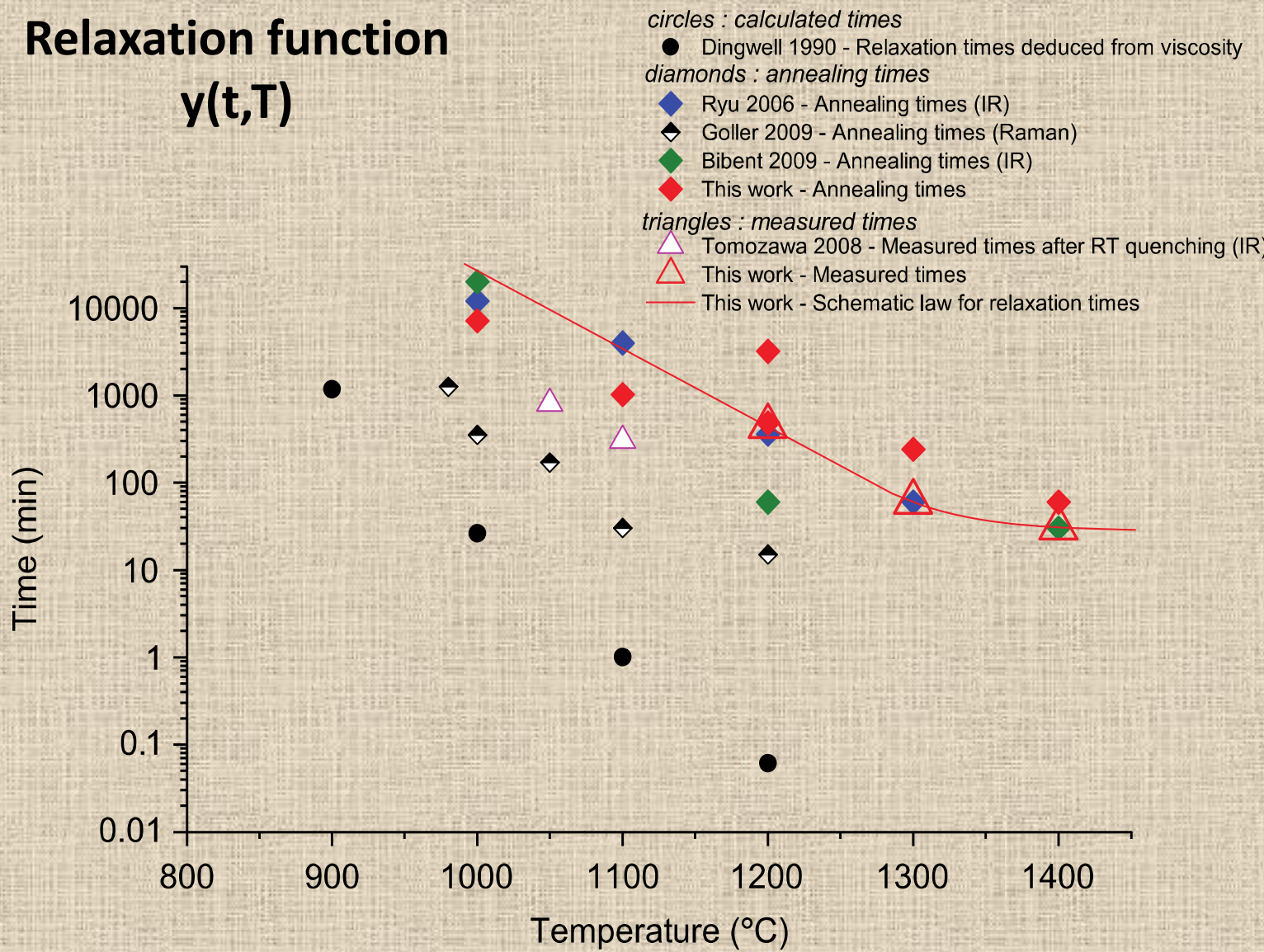
R. Ritchert, J. Phys. Cond. Mat. (2002)

tools

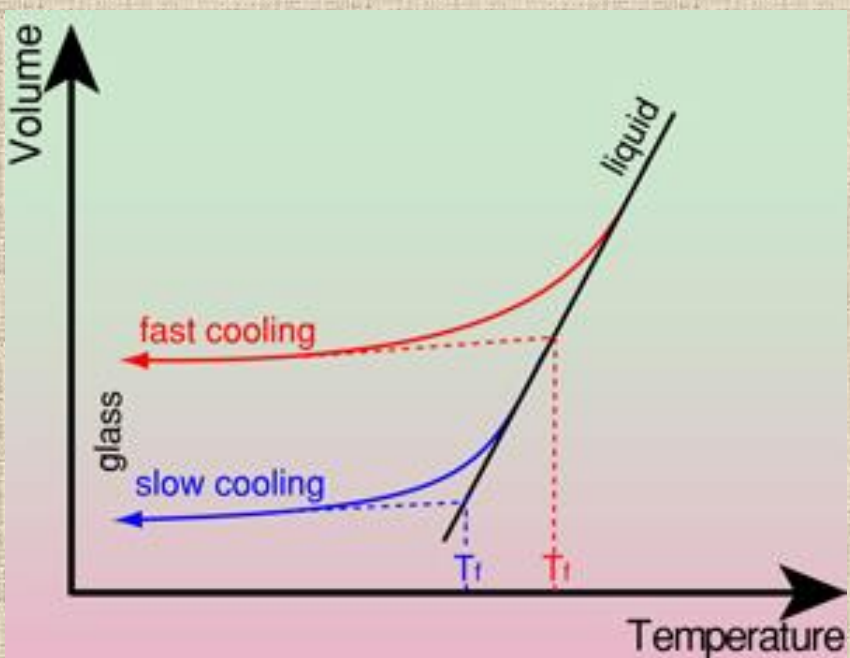


# Structural relaxation

## Relaxation function $y(t,T)$



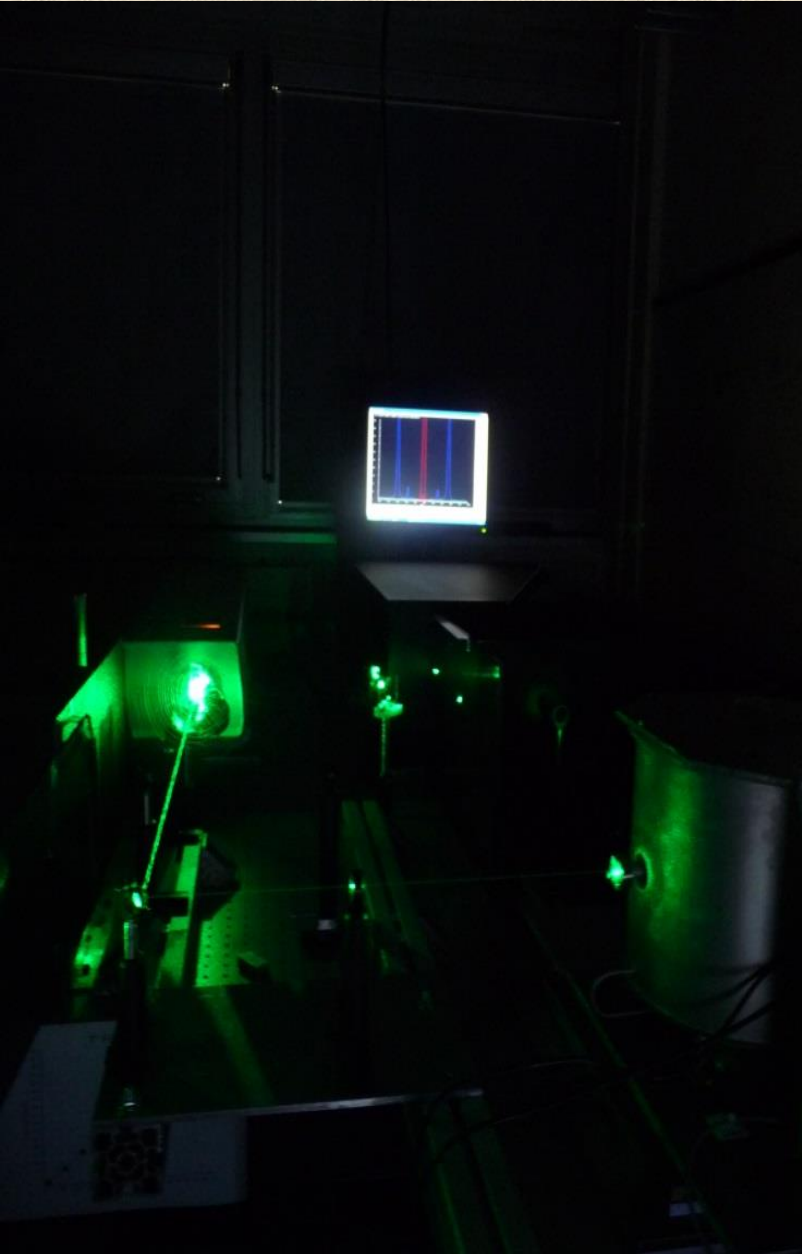
Which relaxation function  $y(t)$  ?



- ✓ Longitudinal acoustical mode frequency (measured by Brillouin scattering)
- ✓ Relative intensity of an Raman lines

## Tool description

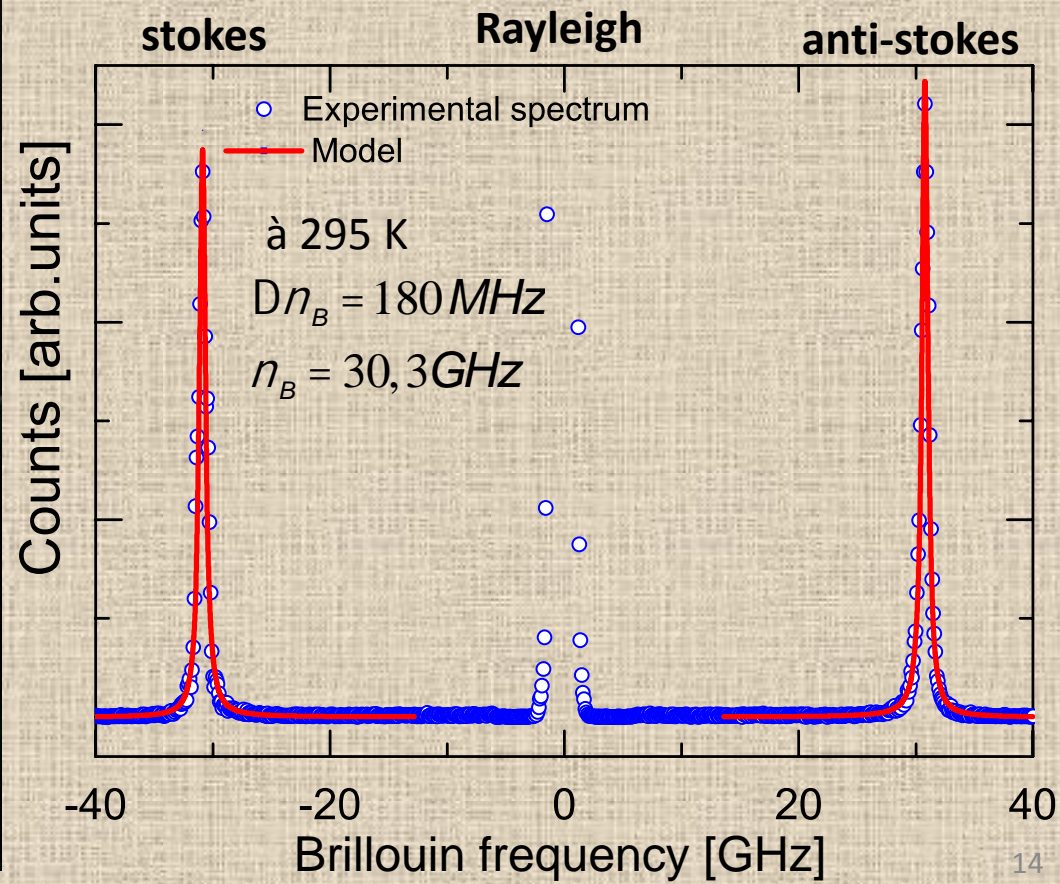
## Spectrum analysis



s)

$$I = I_{Dho} \ddot{\wedge} I_{instr}$$

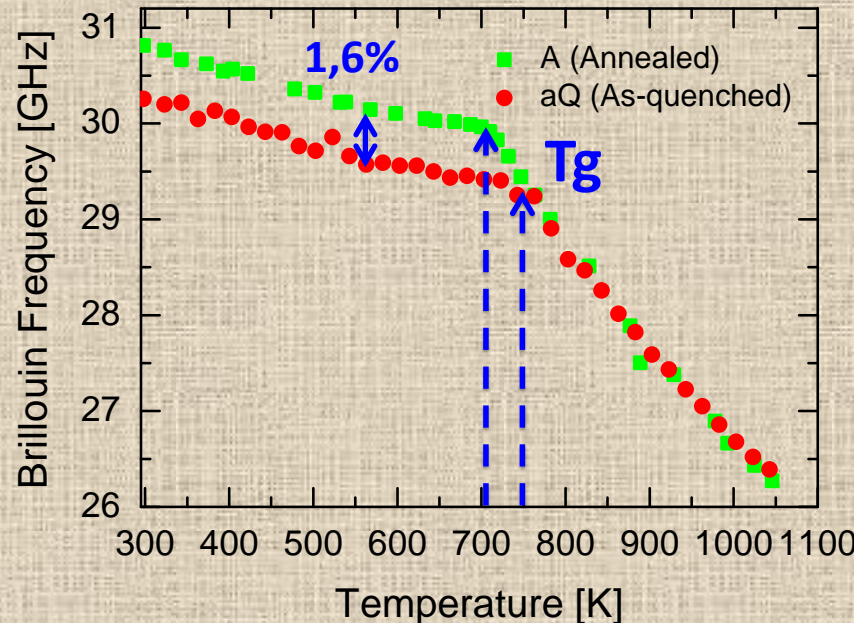
$$I_{Dho} = \frac{I}{4\rho} \frac{4Dn_B n_0^2}{(n^2 - n_0^2) + 4n^2 Dn_B}$$



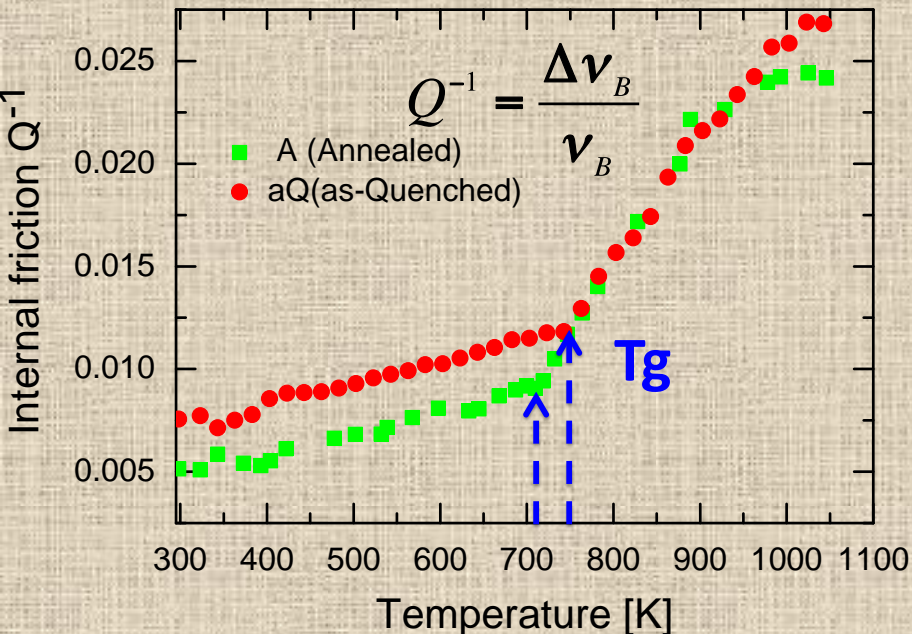
# Brillouin scattering vs Temperature

## Brillouin frequency variations

● As quenched glass  
■ Annealed glass



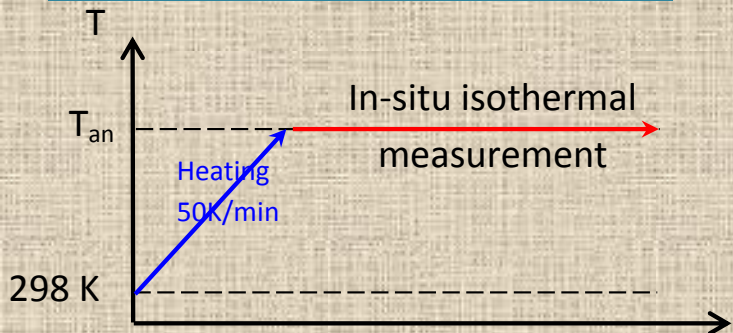
## Internal friction variations



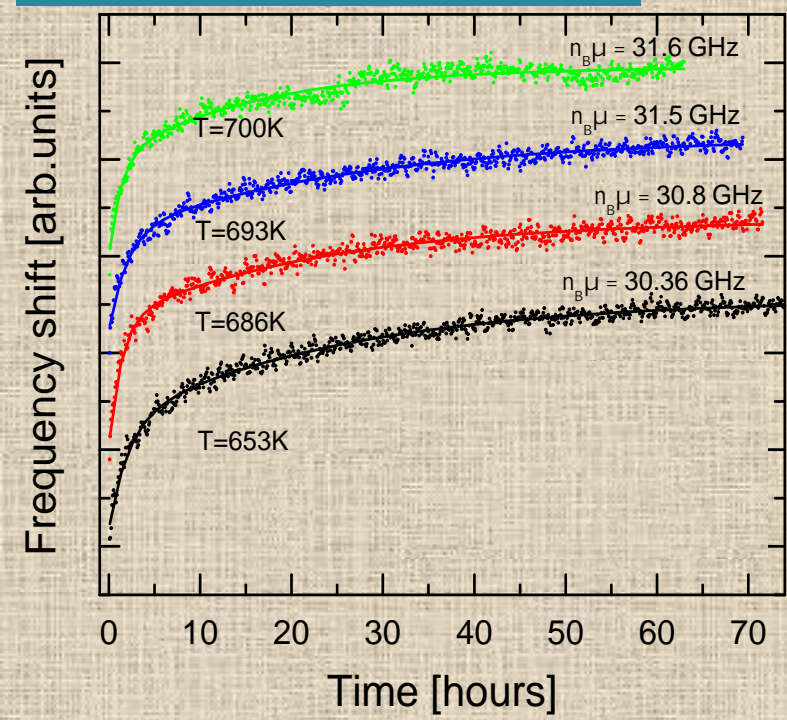
→ Two signatures of a long distance relaxation

# Brillouin scattering vs Temperature & time

## Experimental procedure for relaxation study

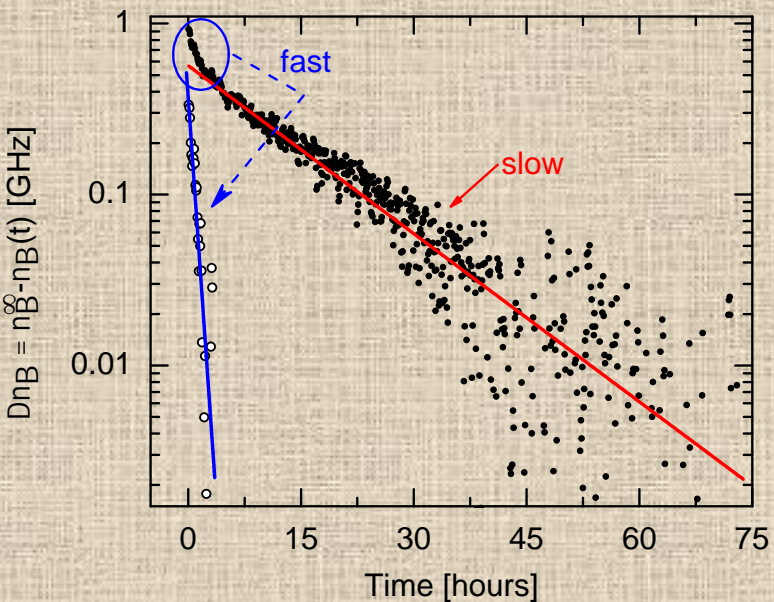


## Relaxation kinetics



analyse

## Exponential decomposition



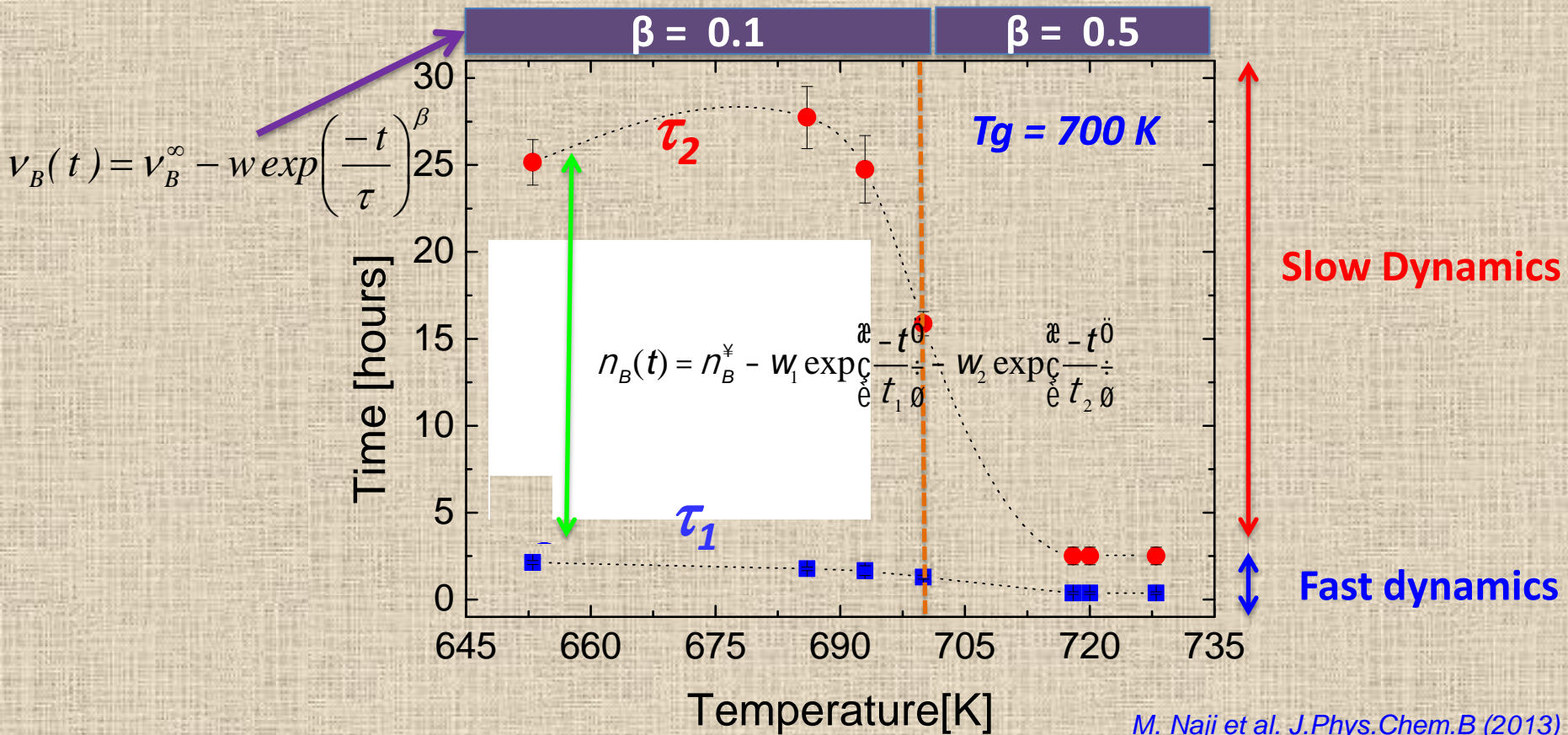
→ bi-exponential model

$$n_B(t) = n_B^* - W_1 \exp\left(-\frac{t}{t_1}\right) - W_2 \exp\left(-\frac{t}{t_2}\right)$$

→ Stretched exponential

$$n_B(t) = n_B^* - w \exp\left(-\frac{t^b}{t_0}\right) \quad \text{with } 0 < b \leq 1$$

# Evidence of heterogeneous dynamics



M. Naji et al. J.Phys.Chem.B (2013)  
M. Naji et al. Physics Procedia (2013)

→  $T < Tg$  : two relaxations  $\tau_1$  &  $\tau_2$

one order of magnitude, or  
small  $\beta$  strong heterogeneity

→  $T > Tg$  : weak heterogeneity

→ Evidence of an heterogeneous dynamics at long distance

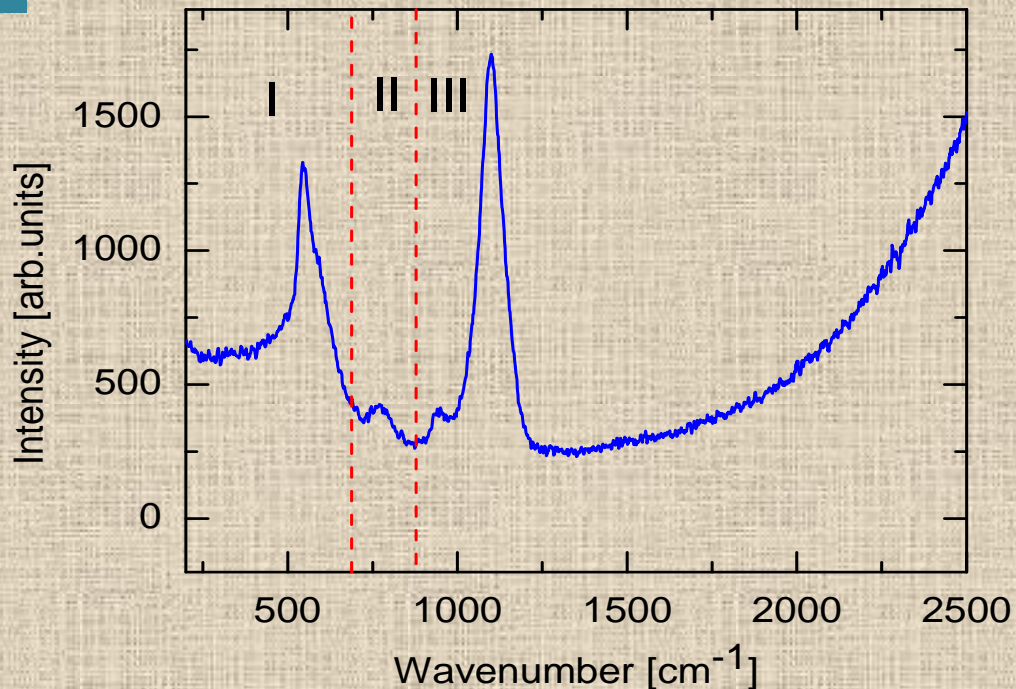
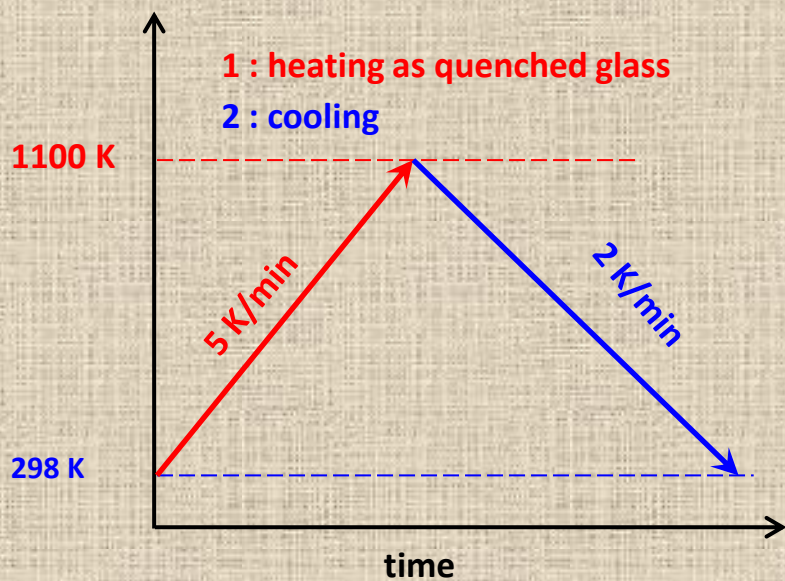
# structurale relaxation at short distance: Raman

## Raman modes of the Raman spectrum

Region I: 3, 4, 5 et 6 tetrahedra rings

Region II: Si-O-Si interterahedral bonds

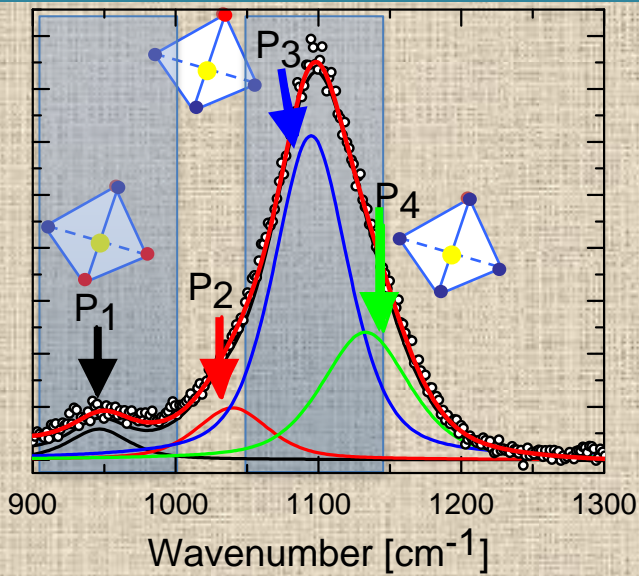
Region III: Si-NBO/BO in  $Q^n$  species



*Experimental process : in situ heating and cooling*

# short range by Raman vs temperature

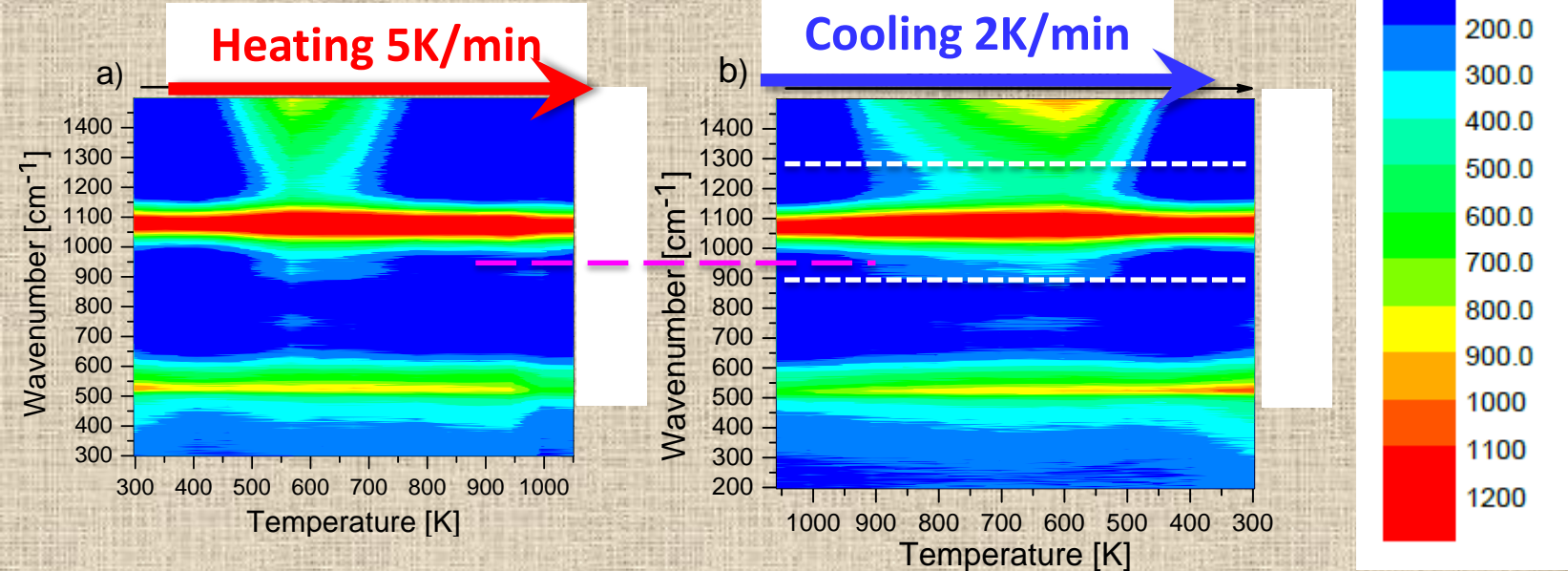
## Analyse in individual compounds



4 gaussian bands

- P1 Mode → stretching Si-NBO in Q<sup>2</sup> species
- P2 Mode → stretching Si-BO
- P3 Mode → stretching Si-NBO in Q<sup>3</sup> species
- P4 Mode → stretching Si-NBO in Q<sup>4</sup> species

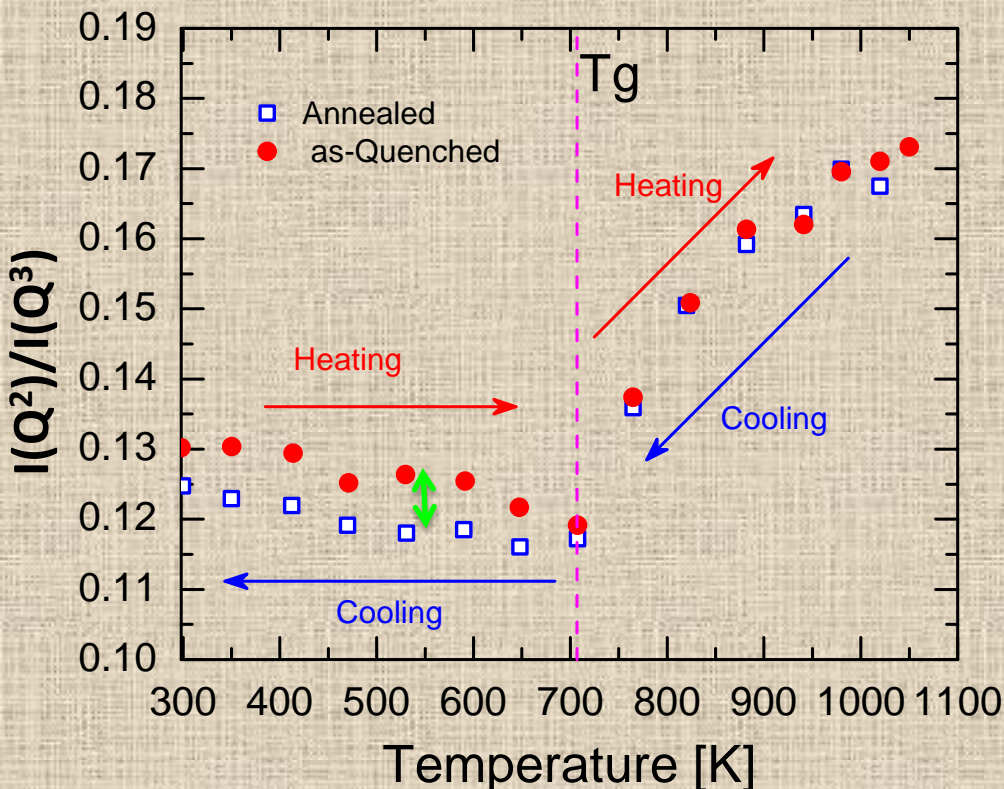
D. De Sousa Meneses Vibrational Spectroscopy, 65, 50-57 2013.  
W.J. Malfait, J. Raman Spec. 2009



✓ quasi-  
Reversible

# Evidence of relaxation at short range

## Variations of $Q^2$ line relative intensity with the temperature



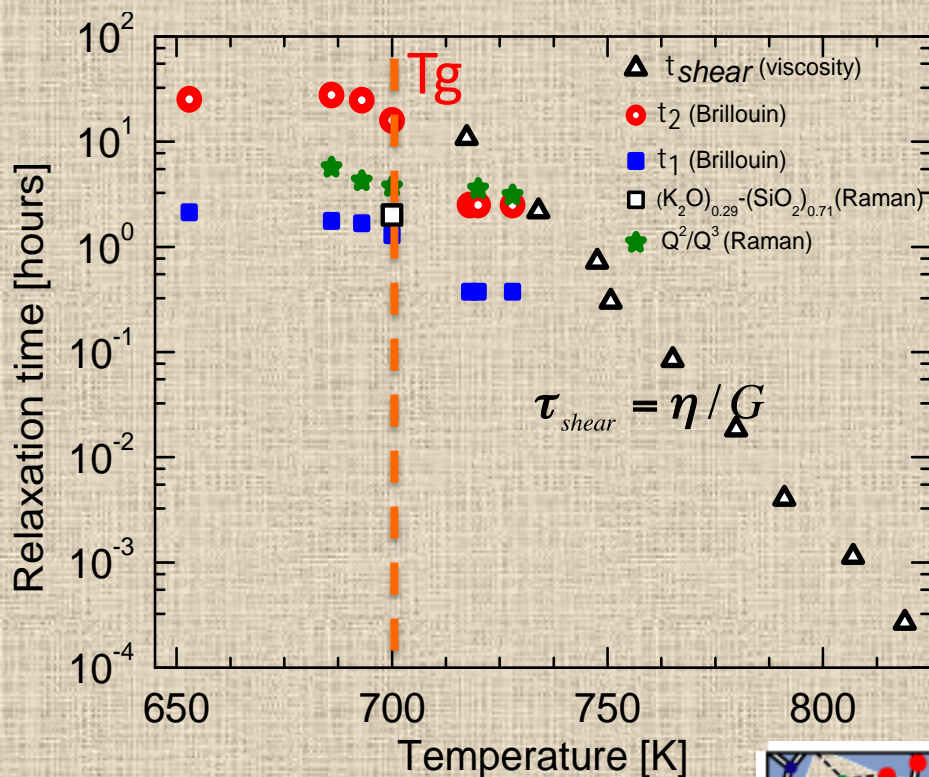
- ~~Reduction of number of  $Q^2$  (Si-O) species by relaxation ?~~
- Variation of the Raman cross section (Environment change) ?

The well known NMR measurements  
exclude the first hypothesis

the intensités of  $Q^2/Q^3$  ratio → good probe for structural relaxation

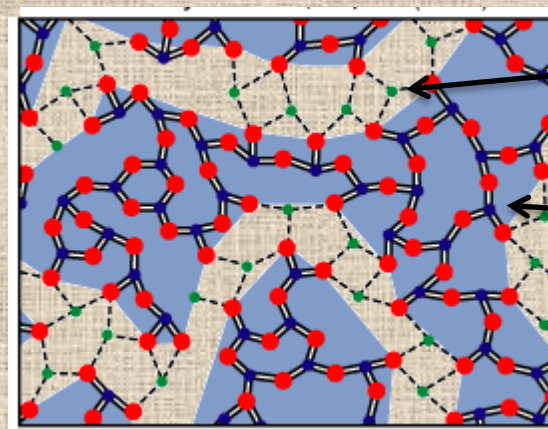
# Discussion

## Comparaison de plusieurs dynamiques de relaxation (Brillouin, Raman, viscosité)



Temps de relaxation Raman ( $Q^2/Q^3$ )  
relaxation time : close from the **fast**  
Brillouin  $\tau_2$

The Brillouin **slow relaxation** time  $\tau_1$   
is consistent with shear relaxation  
time deduced from the viscosity :  
Si—O—Si

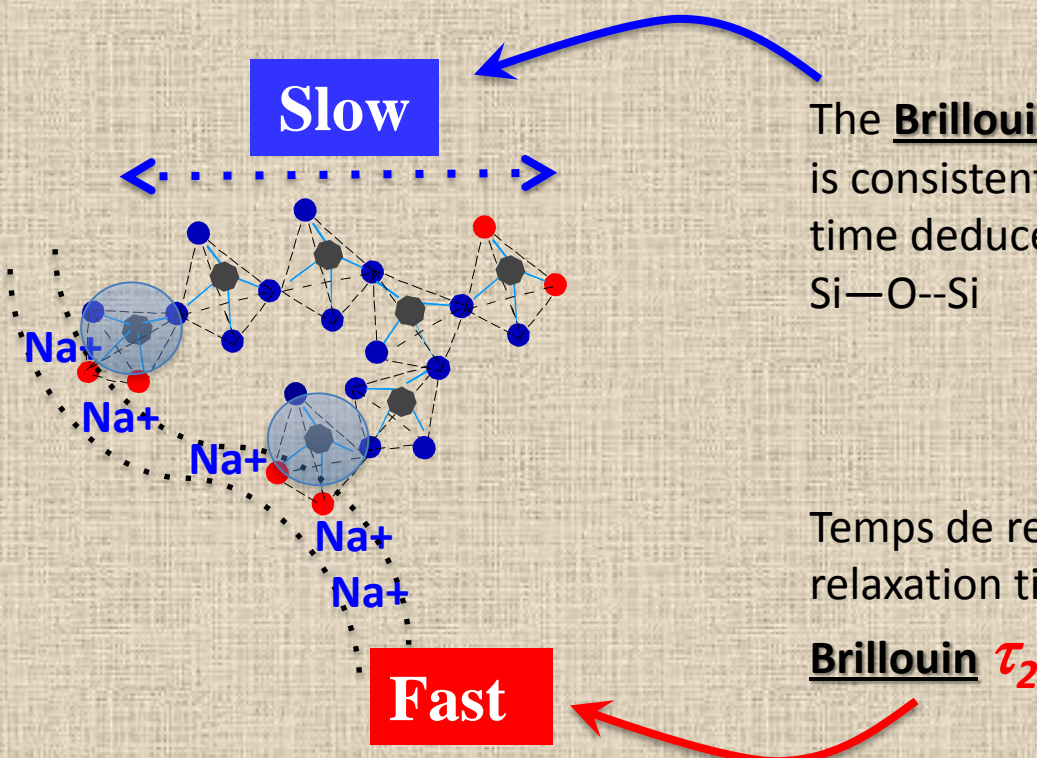


Na<sup>+</sup>  
ions

Q<sup>n<4</sup>  
species

# Conclusion

Relaxation scenario at  $T < T_g$  and heterogeneous dynamics



The **Brillouin slow relaxation** time  $\tau_1$  is consistent with shear relaxation time deduced from the **viscosity**:  
Si—O—Si

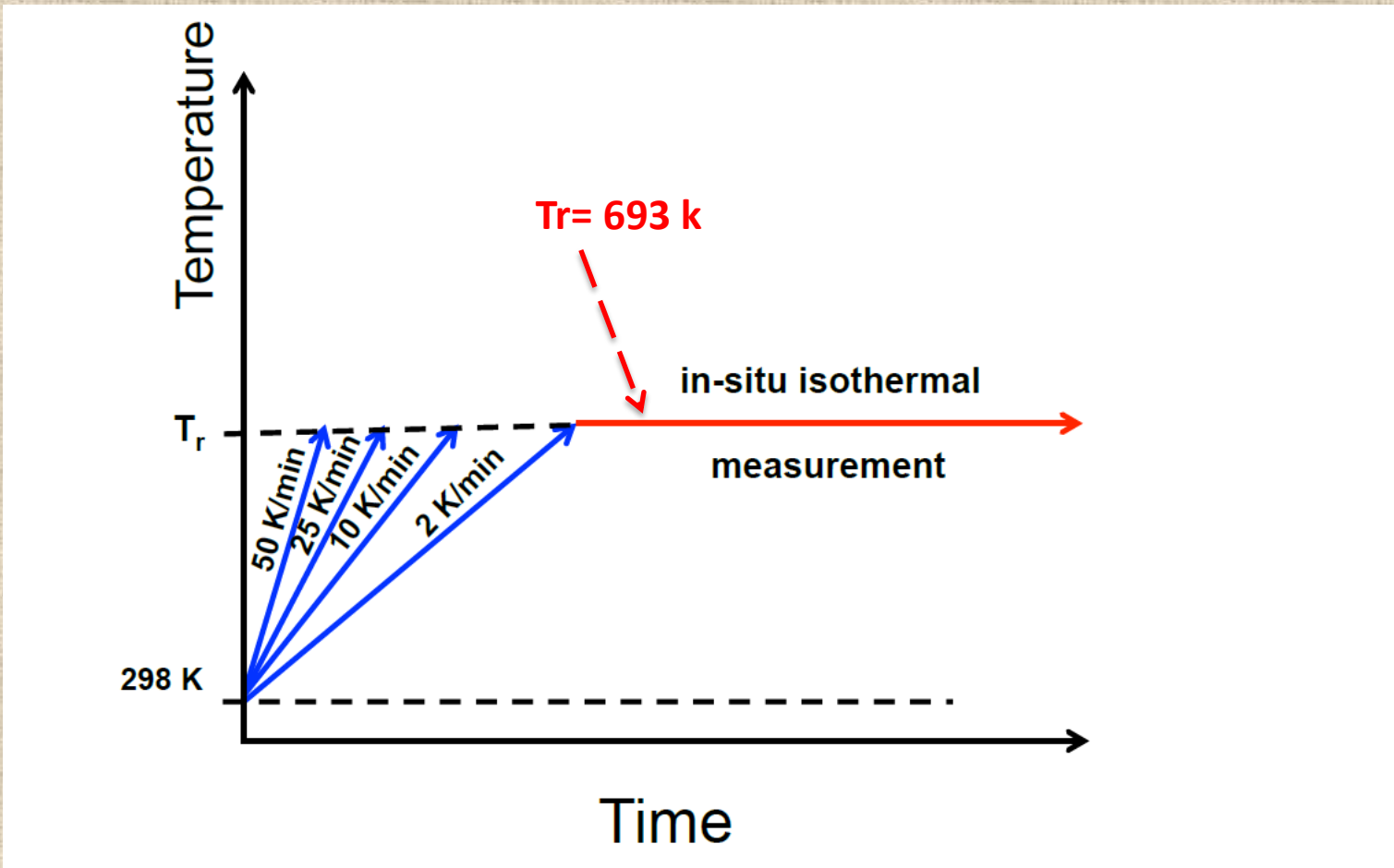
Temps de relaxation **Raman** ( $Q^2/Q^3$ ) relaxation time : close from the **fast**

**Brillouin**  $\tau_2$

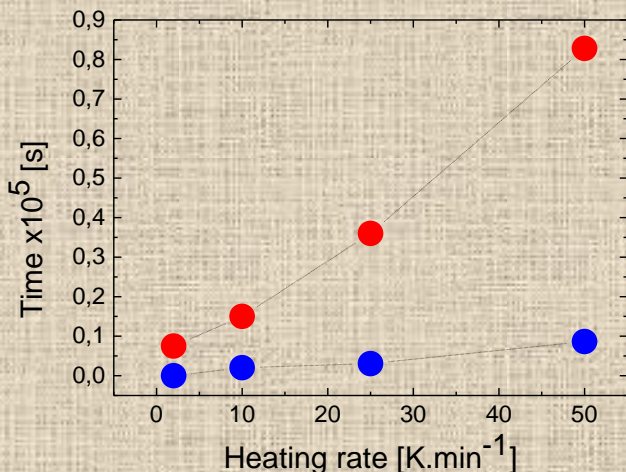
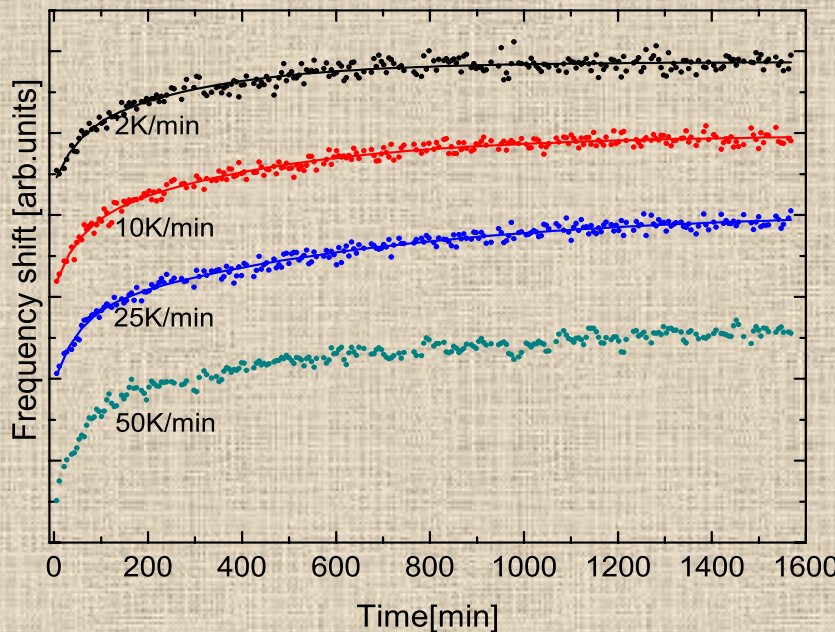
# Effet de la vitesse de montée en température

Thinks are they so simple?

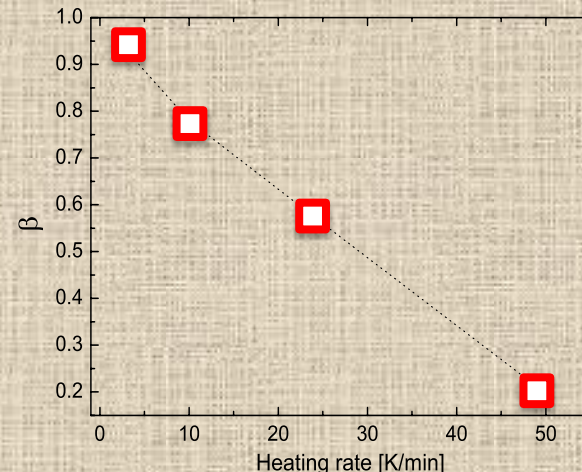
Effect of heating rate



# Effect of heating rate



$$n_B(t) = n_B^\infty - w_1 \exp\left(\frac{\alpha - t^0}{t_1 \theta}\right) - w_2 \exp\left(\frac{\alpha - t^0}{t_2 \theta}\right)$$

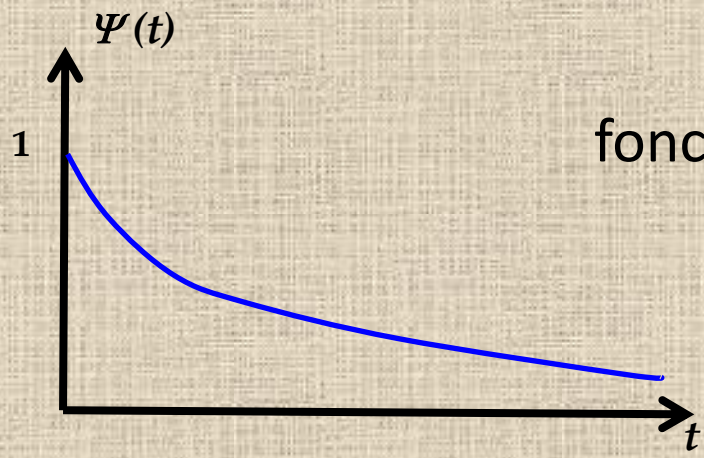


$$v_B(t) = v_B^\infty - w \exp\left(\frac{-t}{\tau}\right)^\beta$$

## Idea of time relaxation distribution function

Modelisation using fractional Brownian dynamics

G. Kneller, J; Chem. Phys. (2010)



fonction de relaxation = superposition  
d'exponentielles

$$\Psi(t) = \int_0^{\infty} d\lambda p(\lambda) e^{-\lambda t}$$

$p(\lambda)$  représente ici le spectre de taux de relaxation

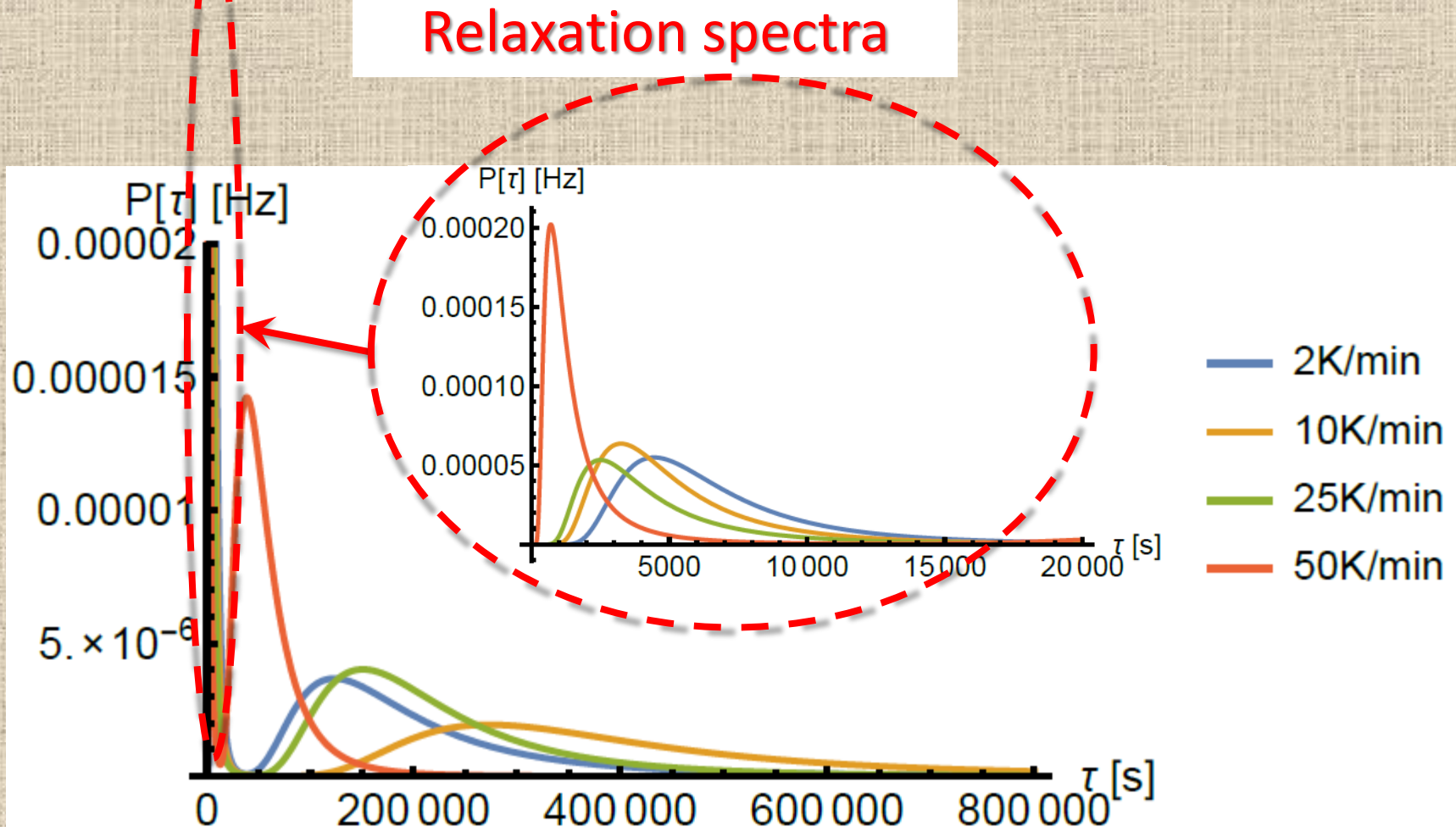
# Effect of heating rate

Idea of time relaxation distribution function

Modelisation using fractional Brownian dynamics

G. Kneller, J; Chem. Phys. (2010)

## Relaxation spectra



## Détails techniques

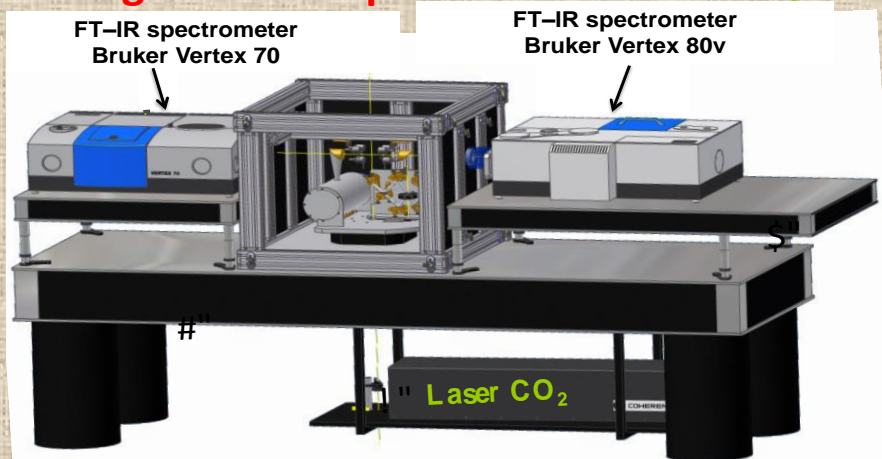
### Dispositif expérimental : 2 spectromètres

développé au CEMHTI

spectromètre FT-IR, Bruker Vertex 80v

$\sigma = 400 - 1600 \text{ cm}^{-1}$

Chauffage avec une platine résistive  $T \sim 1200 \text{ K}$



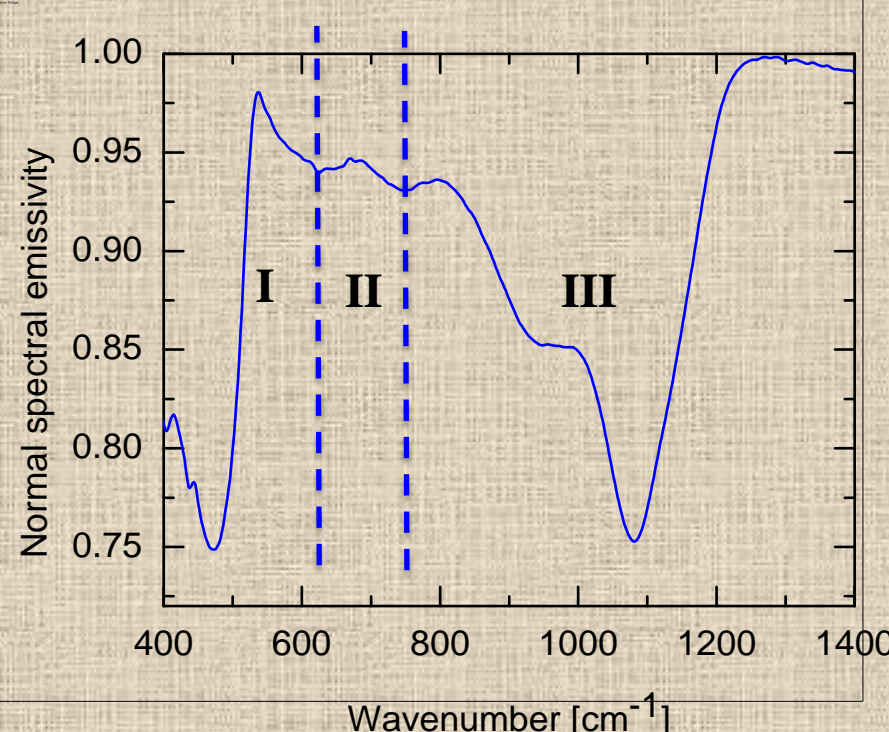
## Calcul d'emissivité

### Luminance du verre et celle du corps noir

$$E = \frac{TF(I_S - I_{RT})}{TF(I_{BB} - I_{RT})} \frac{P_{BB} - P_{RT}}{P_S - P_{RT}} E_{BB}$$

FT : Fourier transform ; I : Interferogram; P: Planck's law ; BB : Black body ; S: Sample  
; RT : Room Temperature

## Spectre d'emissivité du verre



- région I : flexion des liaisons O—Si—O
- région II : vibrations des liaisons Si—O—Si
- région III: vibration des liaison Si—BO/NBO dans les entités Q<sup>n</sup>

Région opaque : Lois de Kirchhoff et Fresnel

$$E(\omega) = 1 - \left| \frac{\sqrt{\varepsilon(\omega)} - 1}{\sqrt{\varepsilon(\omega)} + 1} \right|^2$$

avec :

$\varepsilon(\omega) = \varepsilon'(\omega) + i\varepsilon''(\omega)$   
fonction diélectrique

## Attribution des modes

- $v_1$  O-Si-O déformation
- $v_2$  Si-O-Si étirement,  $v_6$
- $v_3$  Si-NBO étirement dans  $Q^2$
- $v_4$  Si-NBO étirement dans  $Q^3$
- $v_5$  Si-BO étirement dans  $Q^4$
- $v_7$  Si-BO contribution des  $Q^2$ ,  $Q^3$ ,  $Q^4$   
au désordre dynamique

Logiciel Focus



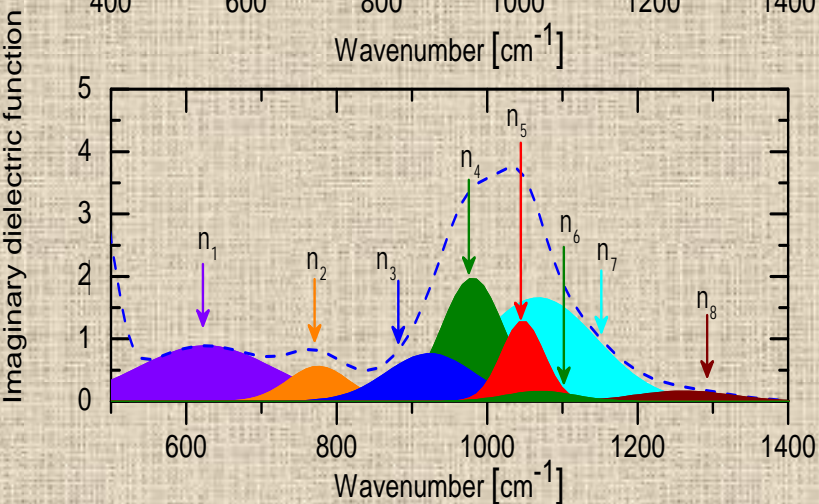
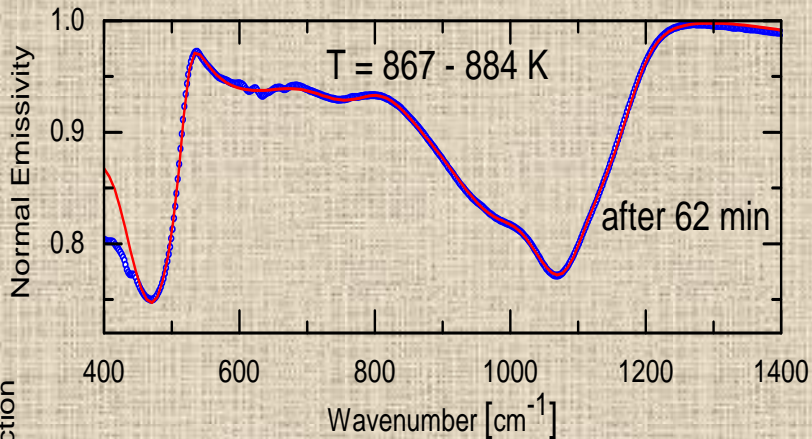
Modèle utilisant un profil d'absorption gaussien

$$\varepsilon(\omega) = \varepsilon_\infty + \sum_j (g_j^{kkg}(\omega) + ig_j(\omega))$$

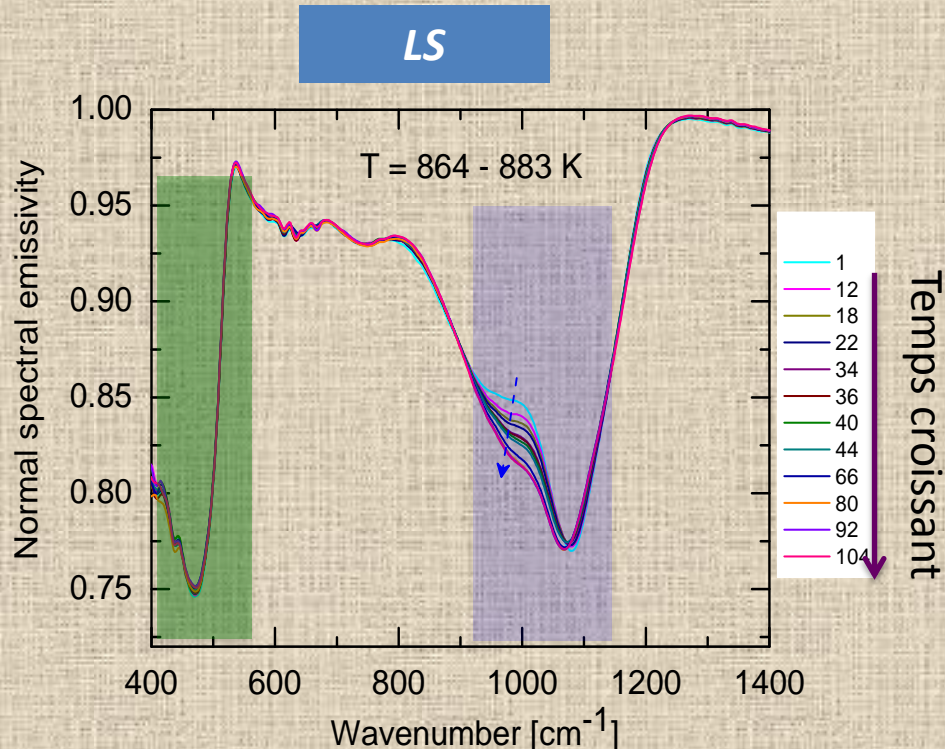
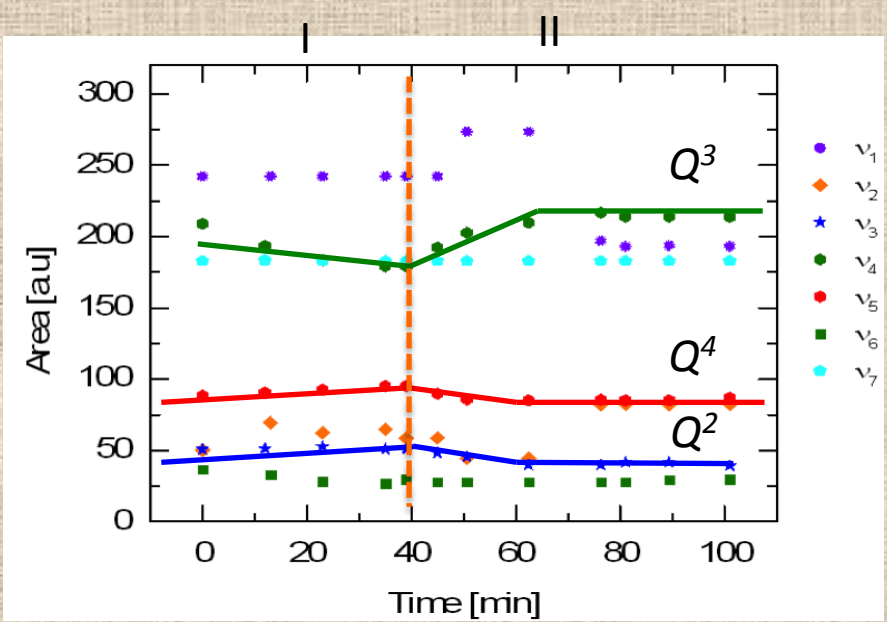
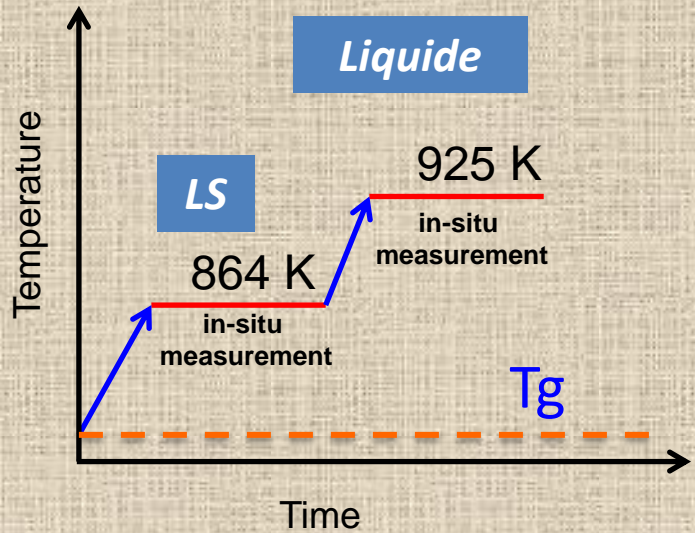
contributions électroniques

gaussienne causale

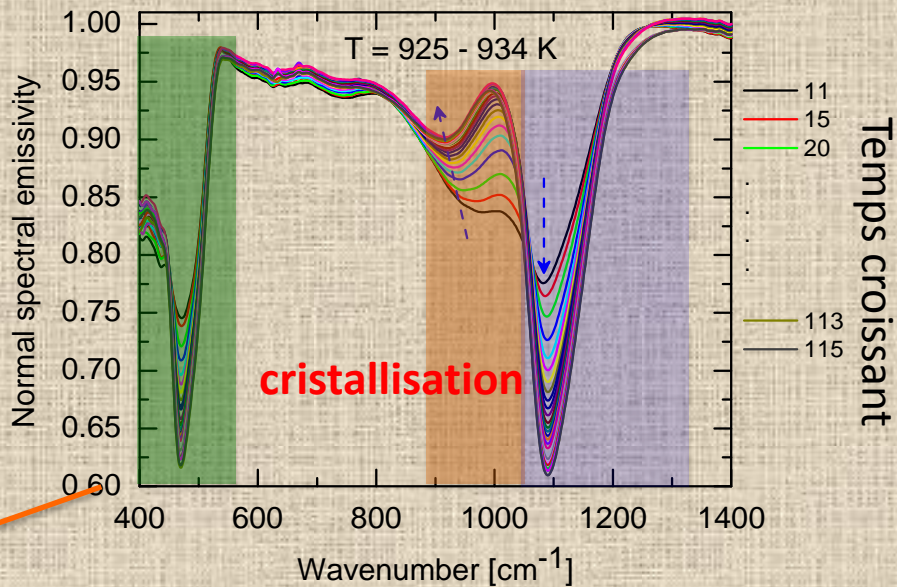
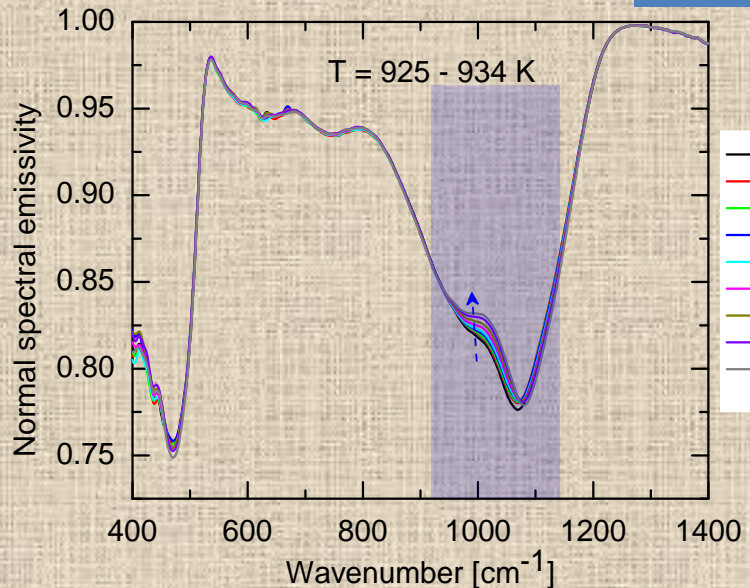
D. De Sousa Meneses Vibrational Spectroscopy, 65, 50-57 2013.



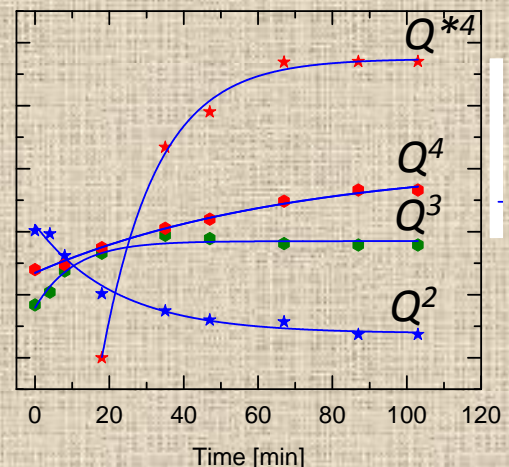
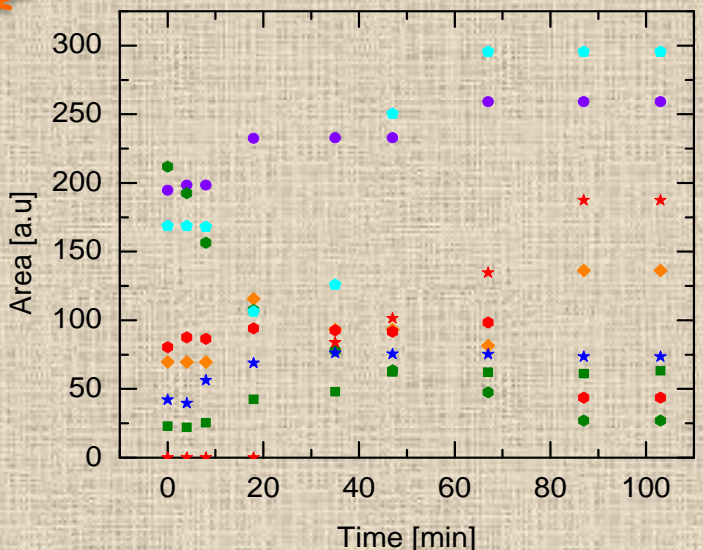
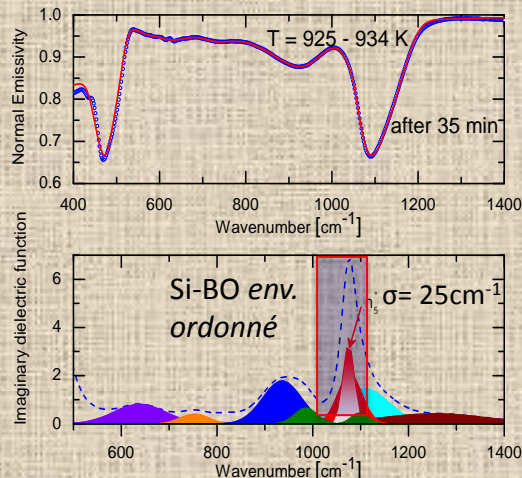
## Protocol expérimental

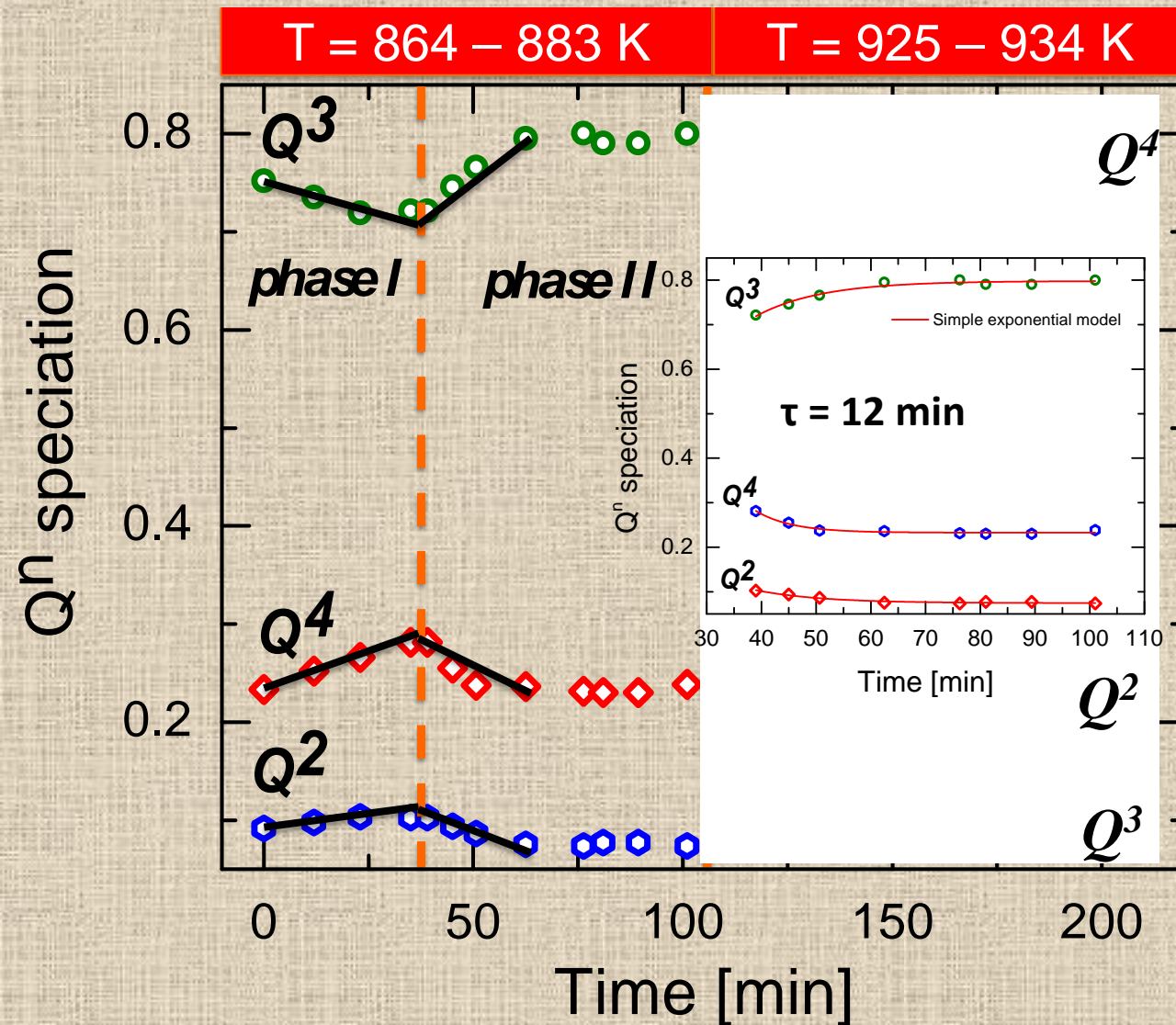


- Le phénomène de relaxation s'amorce.
  - Augmentation de l'aire  $Q^3$  et diminutions des aires  $Q^2$ ,  $Q^4$
1. Mise en place d'une réorganisation qu'on voit pas par Infrarouge.
  2. Puis relaxation à courte distance, avec changement des populations  $Q^n$ .



Ajout d'un mode supplémentaire:  
 $Q^4$  ( $\text{SiO}_2$ -quartz)





- ✓ Augmentation des entités Q<sup>2</sup>.
- ✓ Verre continue à évoluer, état plus stable.
- ✓ Migration des Na<sup>+</sup> pour compenser la charge.
- ✓ Augmentation des espèces Q<sup>4</sup>, apparition du mode supp, montre la formation d'une phase cristalline riche de SiO<sub>2</sub>-quartz.
- ✓ Consommation de 2Q<sup>3</sup>.
- ✓ Le système atteint un minimum.

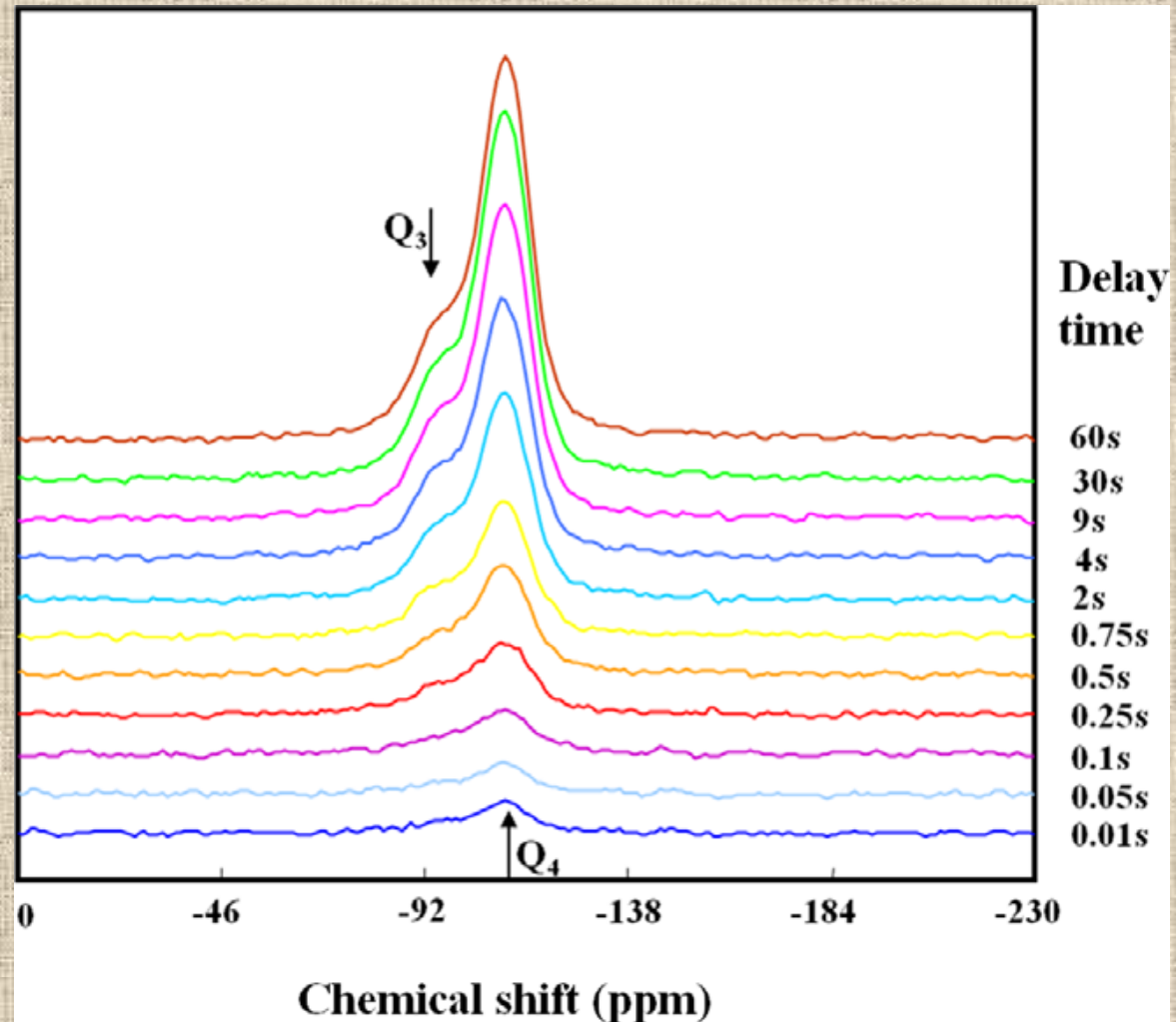
→ Cristallisation et Réaction lente du démixtion (formation système au début, mise en place des cristallites autour d'une organisation à longue distance, puis une relaxation à courte échelle).

# Etude par RMN de la distribution spatiale des ions Na<sup>+</sup> dans les verres (SiO<sub>2</sub>)<sub>1-x</sub>(Na<sub>2</sub>O)<sub>x</sub>

distribution spatiale  
des atomes porteurs  
de moments  
magnétiques (ici <sup>29</sup>Si)  
⇒ relation masse-  
distance

$$m(r) \sim r^D$$

<sup>29</sup>Si Chemical shift in  
9Na<sub>2</sub>O–91SiO<sub>2</sub> glass (1000  
ppm Gd<sub>2</sub>O<sub>3</sub>).



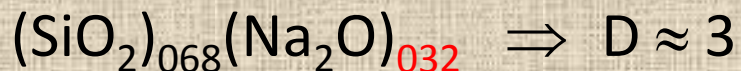
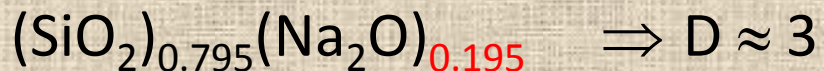
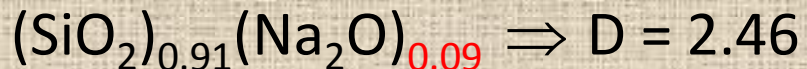
**M(t) = t<sup>α</sup>** relaxation nucléaire de <sup>29</sup>Si

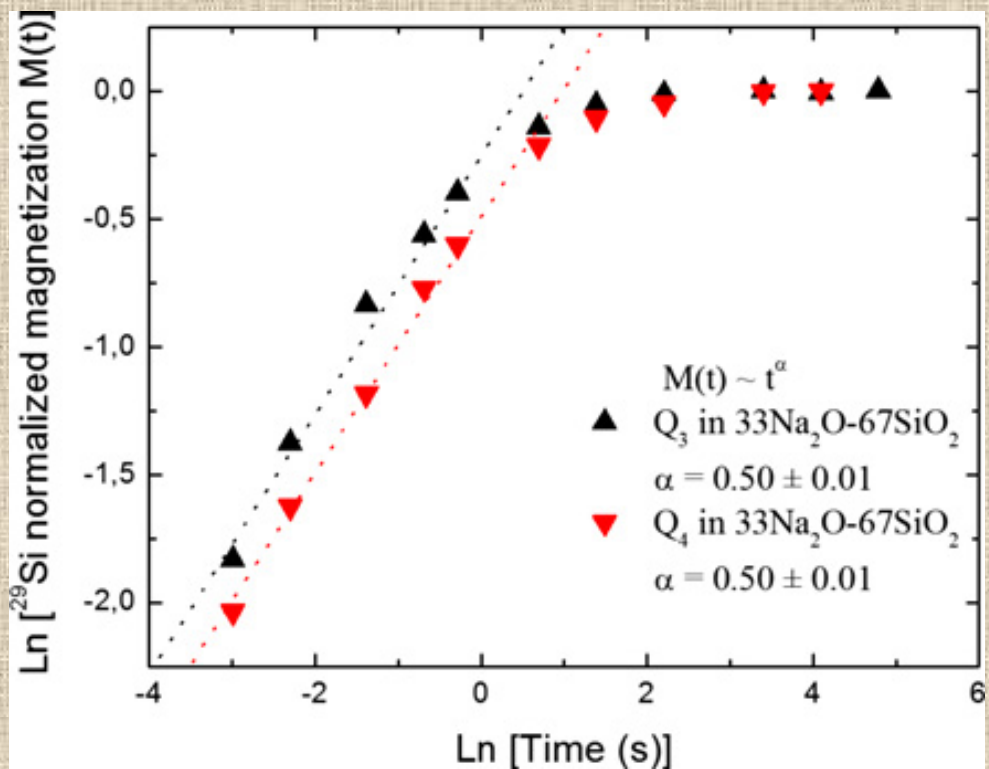
$$M(t) = c \int_{r_m}^{r_M} \left[ 1 - \exp(-At/r^6) \right] \mu_0(r) dr$$

$$M(t) = c M_0 [r = (At)^{1/6}]$$

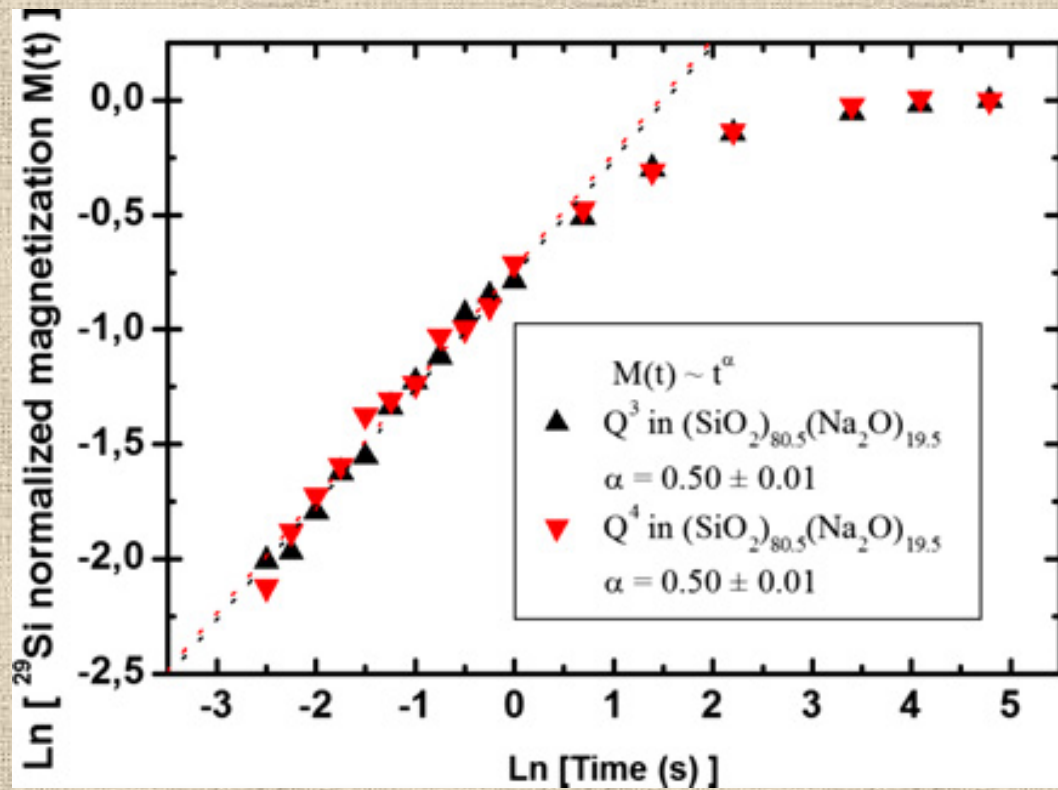
$$M \propto r^D \propto t^\alpha \propto (At)^{D/6}$$

$$\Rightarrow \alpha = D/6$$

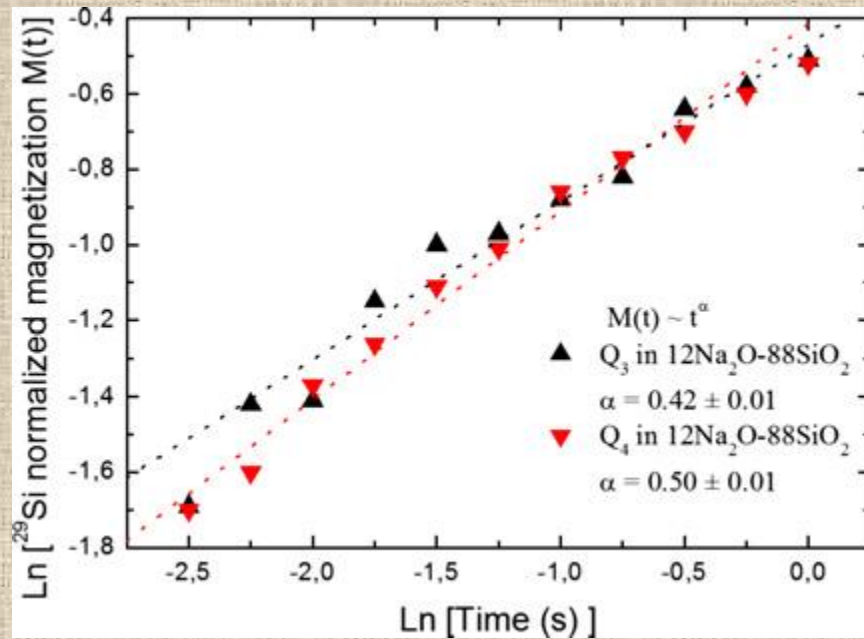




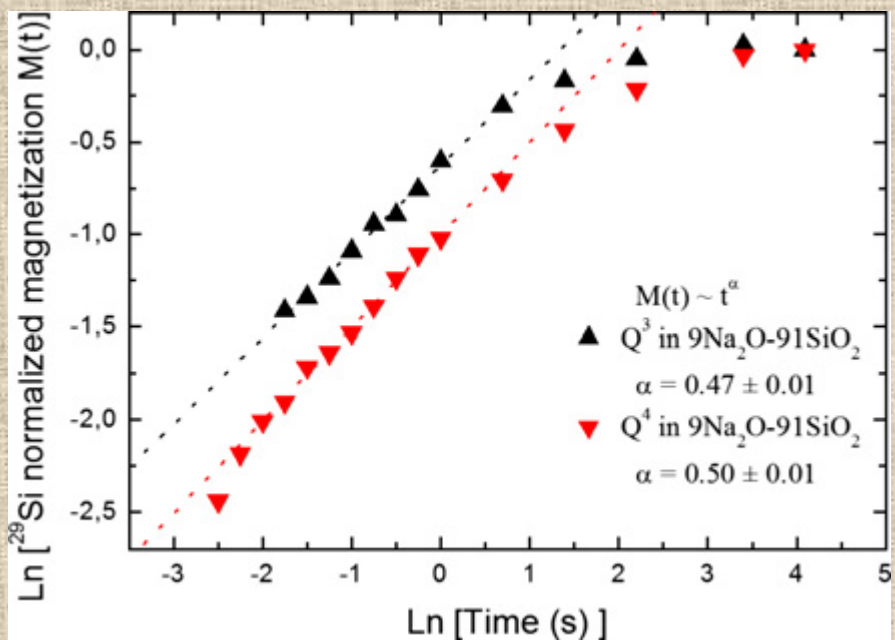
Logarithm of  $^{29}\text{Si}$  normalized magnetization as a function of logarithm time delay for  $33\text{Na}_2\text{O}-67\text{SiO}_2$  glass (e).



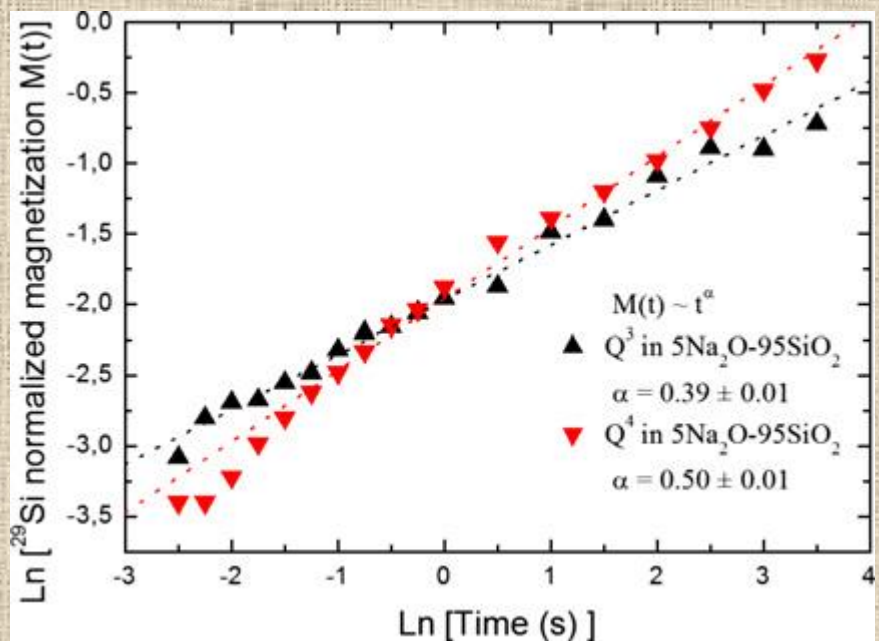
Logarithm of  ${}^{29}\text{Si}$  normalized magnetization as a function of logarithm time delay for  $19.5\text{Na}_2\text{O}-80.5\text{SiO}_2$  glass



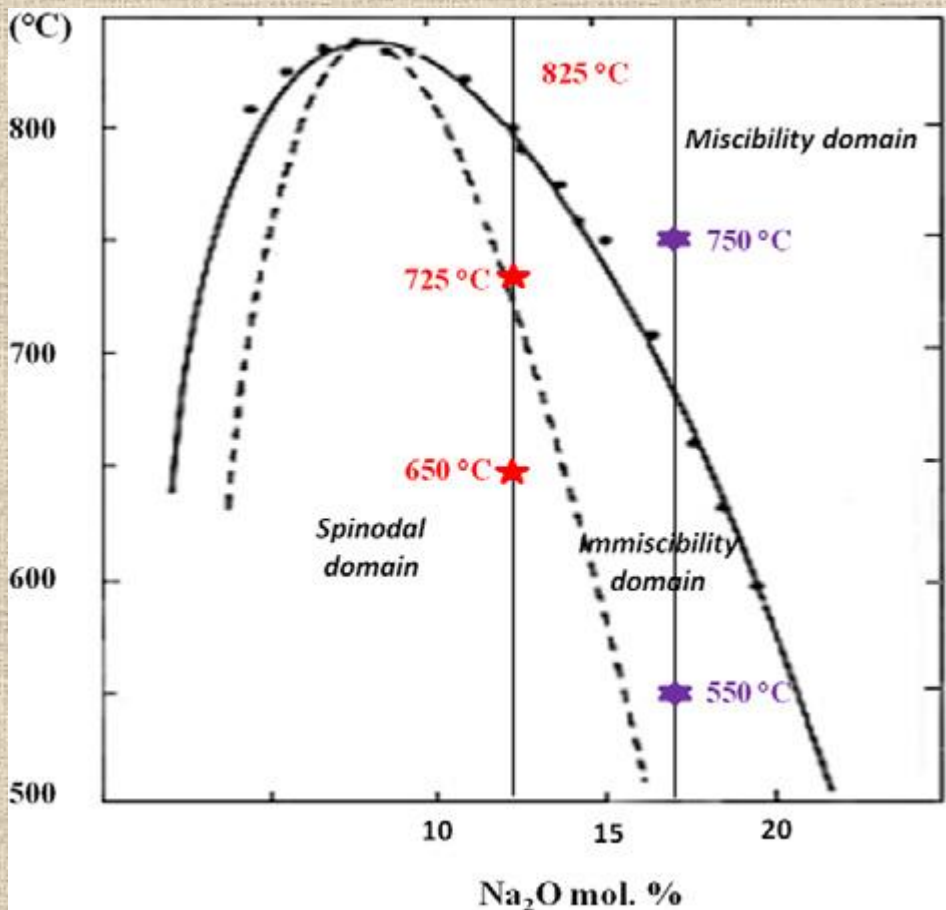
Logarithm of  $^{29}\text{Si}$  normalized magnetization as a function of logarithm time delay for  $12\text{Na}_2\text{O}-88\text{SiO}_2$  glass



Logarithm of  $^{29}\text{Si}$  normalized magnetization as a function of logarithm time delay for  $9\text{Na}_2\text{O}-91\text{SiO}_2$  glass

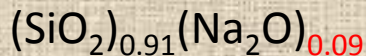


Logarithm of  $^{29}\text{Si}$  normalized magnetization as a function of logarithm time delay for  $5\text{Na}_2\text{O}-95\text{SiO}_2$  glass

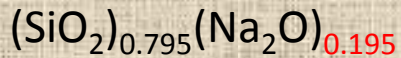


$$M \propto r^D \propto t^\alpha \propto (At)^{D/6}$$

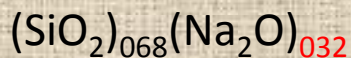
$$\Rightarrow \alpha = D/6$$



$$(\text{SiO}_2)_{0.91}(\text{Na}_2\text{O})_{0.09} \Rightarrow D = 2.46$$



$$(\text{SiO}_2)_{0.795}(\text{Na}_2\text{O})_{0.195} \Rightarrow D \approx 3$$



$$(\text{SiO}_2)_{0.68}(\text{Na}_2\text{O})_{0.32} \Rightarrow D \approx 3$$

# Thank you for your attention



Orléans city  
Joan of Arc City

along  
Loire river

“Loire valley”  
also named  
“Kings valley”

**University  
Since 1306**